

ЅԵԽՆԻԿԱԿԱՆ ԳԻՏՈՒԹՅՈՒՆՆԵՐԻ ՍԵՐԻԱ СЕРИЯ ТЕХНИЧЕСКИХ НАУК

եՄՔԱԳՐԱԿԱՆ ԿՈԷՆԴԵԱ

Ադոնց Հ. Տ. (պատ. իսքրագրի տեղակալ), Անտնյան Ա. Կ. Գասպարյան Ա. Մ., եղիազարյան Ի. Վ. Կաստան Մ. Վ., Խուղավերայան Լ. Մ. Նազարով Ա. Գ. — իսք հր), Սիմոնով Մ. Ջ., Փինաջյան Վ. (պատ. րարտուղար)։

РЕДАКЦИОННАЯ КОЛЛЕГИЯ:

Адонц І. Т. (зам. отв. резактора), Ананян А. К., Гаспарян А. М., Егиазаров И. В., Касынн М. В. Назаров А. Г. (отв. редактор), Пинибхеян В. В. (отв. се-ретарь), Симонов М. З., Худавердян В. М.

Shipahitanime припогр. авгра XI. № 5, 1958 Серия технических наук

ГИПРАВЛИКА

В. Н. ЖАМАГОРИЯН

ДВИЖЕНИЕ ВОЛНЫ ВДОЛЬ БОКОВОГО ВОДОСЛИВА

При внезанной остановке движения воды в конце водовода возинкяет положительная волна, двигающаяся по бьефу, против первоначального установившегося движения. Это обстоятельство вызывает необходимисть при назначении размеров водоводов учитывать накладывающуюся на расчетный установившийся горизонт высоту волны. Виезапный полный сброс нагрузки гидроэлектростанции является тем характерным расчетным случаем практики, когда создается опасность переволнения деривационного канала. Наличие бокового водослива в конце деривационного канала позволяет уменьшить (срезать) высоту волны, благодаря сбросу через водослив части волнового расхода. Уменьшение высоты волны с одной стороны связано с удешевлением сооружения, с другой-с улучилением работы безнапорных тоннелей, если таковые имеются на деривации, так как при этом возможно избегнуть захлебывания тоннеля

В основу сущестнующих методов изучения пеустановившегося движения положено предположение о том, что движение одноразмерное и плавно изменяющееся. Законы движения волны вдоль бокового водослива относятся к разделу гидравлики неустановившегося движения с наменением расхода вдоль пути [1, 2]. В этом случае уравнение движения дополняется уравнением перазрывности:

$$\frac{\partial F}{\partial t} + v \frac{\partial F}{\partial x} + F \frac{\partial v}{\partial x} \pm q = 0, \tag{1}$$

где $q = \mathsf{pacxog}$, отделяющийся или присоединяемый на единице длины бокового волослика.

Раздел гидравлики переменной массы сравнительно молодой. Существующие работы в этой области в основном касаются вопросов установившегося днижения. В области исследования волнового движения вдоль бокового водослива имеется мало работ. К этим работам относятся исследования К. Дриоди [3], Д. Читрини [4], Б. Джентилини [5].

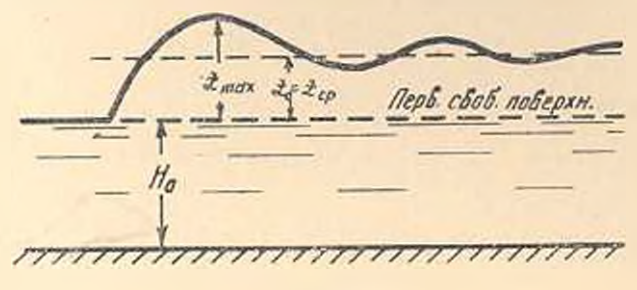
Дриоли делит, длину порога бокового водослива на л участков и рассматривает движение по участкам. Расчет основан на составлении уравнений движения и неразрывности по средним значениям основных гидравлических ведичин для каждого участка. Переходя от одного участка к другому, автор находит величину средней высоты волны после бокового водослива.

Читрини исходит из дифференциальных уравнений движения и неразрывности. Он решает задачу при помощи уравнений характеристик, интегрируя их по методу конечных разностей. Решение получает для прямоугольного русла, причем конечную разность принимает равной длине порога бокового водослина.

Работа Джентилини относится к экспериментальному исследованию этого вопроса в лабораторных условиях.

Хотя работы указанных авторов намного продвинули вопрос вперед, но точность результатов недостаточна для практического использования, а самые расчеты трудоемки. Поэтому в настоящей работе ставится цель получить удобные и достаточно точные для практического применения расчетные зависимости.

Известно, что миновенный профиль положительной волны, возникшей в результате резкого изменения расхода, характеризуется резким повышением уровня в пределах лба волны, что позволяет практически считать лоб вертикальным. Такие волны называются прерывными [6, 7]. Кроме того, положительная волна в этом случае имеет ряд передовых валов (рис. 1). Фавр на основании своих опытов дал график зависимости — f(-), между максимальной высотой волны z и первоначальной глуби-



PRC. I

ной установившегося движения H_0 . Аналогичную связь приводит гакже Джентилини. Базен оценивал этот максимум как $z_{\max} = \frac{3}{2} z$. Для этого же случая скорость распространения лба волны выражается по известной формуле:

$$C = V \overline{gH_0} \left(1 + \frac{3}{4} \frac{z}{H_0} \right) \pm v_0. \tag{2}$$

а перемещаемый волной расход

$$\Delta Q = zCB. \tag{3}$$

Условие отражения волны в различных случаях определяется двумя уравиениями, а именно равенством расходов до и после отра-

жения и условием непрерывности кривой свободной поверхности [8] При рассмотрении движения волны вдоль бокового водослива на канале примоугольного сечения, возникшей при внезапной полной остановке движения, принимается, что уклоп для канала и потери в пределах бокового водослива незначительны и ими можно пренебречь: порог бокового водослива параллелен дну канала.

Движение принимается одноразмерным, в ураннение неразрывности вводится коэффициент частично учитывающий то обстоятельство, что распространение изменения расхода, вызванного сливом воды с порога бокового водослива происходит не мгновенно по всей ширине потока. Возможность допущения одноразмерности подтверждается опытами, которые показывают, что фронт волны при прохождении ядоль боконого водослина практически остается перпендикулярным к направлению движения. При решении задачи параметры волны до водослива в силу известных теорий неустановившегося движения, с пензменным расходом вдоль пути, считаются заданными Нужно отметить, однако, что даже при вышеуказанных ограничениях и допущениях строгое теоретическое решение вопроса затруднительно.

Пусть ширина каняла будет В, длина порога бокового водослива L, скорость установившегося движения $\mathbb{Z}_{\mathfrak{o}}$ расход $Q_{\mathfrak{o}}$, глубина $H_{\mathfrak{o}}$ Предположим, что благодаря внезапному закрытию щигов возникла обративя положительная волиа со средней высотой год перемещающаяся со скоростью C_{n_1} определяемой по (2). Волна, двигаясь вдоль бокового водослива, будет деформироваться и будет терять часть волнового расхода и высоты, благодаря сливу воды через порог бокового водослина. Обычно расход через боковой водослив при установившемся движении выражают через глубину на пороге-в начале или в конце водослива. В данном случае боковой водослив постепенно включается в работу, поэтому принимается формуля для расхода поммого" водослива с введением коэффициента о, учитывающего разницу между коэффициентом расхода т установившегося движения на "прямом" водосливе и коэффициентом расхода при неустановившемся движении вдоль бокового водослива того же профиля, а именно:

$$Q = smb \sqrt{2gh^{V_0}}. (4)$$

Если вместо h подставить среднюю высоту z_0 , то из-за степени $\frac{3}{2}$ следует ожидать $\sigma > 1$, так как по отношению к средней висоте действительный профиль волны, показанный на рис. 1. даст большой расход. Обозначим через $z_{x} = y_0 - y$ высоту полны, а через Q волновый расход в сечения на расстояния с считая от нижнего конца бокового водослива. Предположим, что при продвижения волны на расстояние Δx за время Δt , высота волны z, уменьшается на Δy

(рис. 2). Это изменение в виде отрицательной волны будет распространяться как поперек течения, так и по течению. Следует обрагить винмание на то, что отрицательная волна, дойдя до закрытого конца, отразится полностью почти с удвоенной высотой и что к последующих за лбом сечениях должно произойти дальнейшее уменьшение высоты вольы. Это упрошлет задачу, позволяя следить

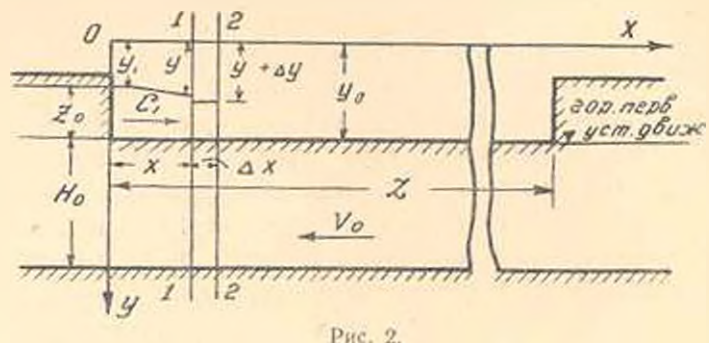


Рис. 2.

голько за нервым ходом волны, т. е. проследить за изменением высоты волны, двиглясь вместе с ее лбом. Для распространения отрицательной волны от порога до противоположной стенки потребуется хотя и незначительное, но некоторое неизвестное время. в течение которого фроит волны вдоль оси несколько переместится. Сливающийся объем через боковой водослив разместится и параллеленипеде, ребро которого будет не перпендикулярным, а несколько наклопным к оси канала. Если имело бы место мгновенное распространение, го параллеленинед был-бы правильным с ребром, перпендикулярным к оси канала и равным его ширине В. Следовательно, п предыдущем случае мы вправе считать парадлеленинед неправильным и с ребром равным pB_i где p некоторый коэффициент > 1, который должен определяться опытими. Скорости распространения положительной обратной и отрицательной прямой волны в створе 1—1 обозначены соответственно C_{1x} и C_{2x} . Рассмотрим изменение массы, заключенной в выделенном объеме между сечениями 1-1 и 2-2. Масса воды, вошедшей и выделенный объем, разна

$$\rho Q_{*}\Delta t + \rho C_{2*} \rho B \Delta y \Delta t$$

а масса вывледшен ноды

$$pam \mid 2g : (y_0 \quad y \quad \Delta y)^{\alpha} \Delta x \Delta t$$

Приращение массы, перзоначально заключенной в выделенном объеме между сечениями 1 1 и 2-2, за тот же промежутох времени равен

$$\rho (y_0 - y - \Delta y) \rho B \Delta \lambda$$
.

Приравинвая последнее выражение разности между поступившей и вышедшей массами, переходя к пределу, получим:

$$Q_x + \rho B C_{2x} dy \quad \exists m \sqrt{2g} (y_0 - y - dy)^{t_0} dx - \rho B (y_0 - y) \frac{dx}{dt} + \rho B \frac{dx}{dt} dy = 0.$$
(5)

Но $\frac{dx}{dt}$ представляет собой скорость распространения обратной поло-

жительной волны в створе 1—1, т. е. C_{1x} а $pB(y_0-y)C_{1x}=Q_x$. С другой стороны выражение $\{(y_0-y)-dy\}^{r_0}$ можно разложить в ряд по степеням dy. Подставляя эти значения в уравнение (5) и отбрасывая бесконечно малые высших порядков, получим:

$$pB(C_{1x} + C_{2x}) dy = zm \sqrt{2g(y_0 - y)} dx = 0;$$

здесь $y_0 - y = z$ и -dy = dz, следовательно

$$\rho B (C_{1x} + C_{2x}) dz + \epsilon m \sqrt{2g} z' dx = 0.$$
 (6)

Для интегрирования уравнения (6) нужно найти функции $C_{1x} = C_{1x}(x)$ и $C_{2x} = C_{2x}(x)$. Если принять

$$\frac{1}{L} \int_{0}^{L} C_{1r}(x) dx + \frac{1}{L} \int_{0}^{L} C_{2x}(x) dx = C_{1ep} + C_{2ep} = 2C_{ep}, \tag{7}$$

то после интегрирования (6) в пределах от 0 до L и преобразования, получим:

$$K = \frac{z}{z_0} = \frac{1}{\left(1 + \frac{z_m \sqrt{2}}{4p} \frac{\sqrt{gz_0}}{C_{GP}} \frac{L}{B}\right)^3}.$$
 (8)

где z соответствует средней высоте волны после бокового водослива (после уменьшения);

K — коэффициент, показывающий относительное уменьшение первоначальной высоты волны $z_{\rm 0}$ боковым водосливом. Его будем называть коэффициентом уменьшения.

К аналогичному выражению можно прийти, если исходить из лифференциального уравнения движения

$$\frac{v}{g}\frac{\partial v}{\partial x} + \frac{1}{g}\frac{\partial v}{\partial t} + \frac{\partial H}{\partial x} = 0,$$

и уравнения неразрывности

$$v\frac{\partial H}{\partial x} + H\frac{\partial v}{\partial x} + \frac{\partial H}{\partial t} + \frac{q}{B} = 0.$$

где q отделяющийся (сливающийся) расход на единицу длины, ранный

$$q = am \sqrt{2g} z^{-1}$$

С учетом выражений для полных дифференциалов

$$dH = \frac{\partial H}{\partial x} dx + \frac{\partial H}{\partial t} dt$$

я

$$dv = \frac{\partial v}{\partial x} dx + \frac{\partial v}{\partial t} dt$$

подучим уравнения характеристик в следующем ниде:

$$\frac{dx}{dt} = v \mp V gH. \tag{9}$$

$$\left(\frac{\mathrm{d}x}{dt} - v\right)\frac{dH}{dt} + H\frac{dv}{dt} + \frac{\sigma m\sqrt{2g}}{B}z^{v_h}\left(\frac{dx}{dt} - v\right) = 0. \tag{10}$$

Сокращая и подставляя значение $\frac{dx}{dt}$ из (9), получим:

$$+ V \overline{gH} \frac{dH}{dt} + H \frac{dv}{dt} + \frac{\sigma m V 2g z^h V gH}{B}$$
 (11)

Если принимать скорость волны постоянной, т. е.

$$\frac{dx}{dt} = v \mp V \ \overline{gH} = C = \text{const.}$$

то тогда

$$\frac{dv}{dt} = -\frac{1}{2} \sqrt{\frac{g}{H}} \frac{dH}{dt}$$

Подставляя это значение в (11), получим:

$$\frac{dH}{dt} + \frac{2\pi m \sqrt{2\kappa}}{R} z^{-} = 0. \tag{12}$$

С другой стороны, учитывая что dH = dz и dx = Cdt после интегрирования (12) и пределах от 0 до L, получим:

$$K = \frac{z}{z_0} = \frac{1}{\left(1 + zm\sqrt{2}\sqrt{\frac{gz_0}{C}}\frac{L}{B}\right)},$$
 (13)

Как видно, разница между (8) и (13) заключается только в постоянном множителе в знаменателе. В дальнейшем основным выражением для K будем считать формулу (8), так как (13) было получено для структурного подтверждения (8).

Далее нас должно интересовать как изменяются скорости $C_{1x} = C_{1x}(x)$ и $C_{2x} = C_{2x}(x)$ вдоль x и возможность определения их средних значений по x. Для этого рассмотрим (7) почленно.

Скорость распространения обратной положительной волны, согласню (2), будет:

$$C_{1x} = \sqrt{gH_0} \left(1 + \frac{3}{4} \frac{1}{H_0}\right) \tag{14}$$

но так как $Q_x = Q_x(x)$, значит и $z_x = z_x(x)$. Введем обозначение

$$Q_x = \beta_x Q_0. \tag{15}$$

где β_x — некоторый переменный вдоль длины порога бокового водослива коэффициент относительного уменьшения волнового расхода. Подставляя значение β_x из (15) в (14) с учетом выражения для волнового расхода (3), произволя некоторые преобразования и отбрасывая корень квадратного уравнения со знаком минус, как не имеющий, смысла, получим

$$C_{1s} = \frac{\sqrt{gH_0}}{2} \left[1 - Fr + \sqrt{1 + Fr} (33_s - 2) + Fr^2 \right]$$
 (16)

где $Fr=rac{v_0}{V\overline{g}H_0}$ число Фруда.

Отсюда следует, что C_{1x} зависит от β_{x} значение которого вдоль порога изменяется в сторону уменьшения. С учетом (3) можно написатычто

$$\beta_1 = \frac{Q_1}{Q_1} = \frac{z_x}{z_0} \frac{C_{1x}}{C_0}$$

Вдоль порога z_x и C_{1x} могут изменяться в следующих пределах

$$z_0 > z_x > 0$$
 H $C_0 > C_{t,x} > V / H_0 (1 - Fr)$.

Следовательно β_r в основном изменяется от —. На основания выше-изложенного для определения , как первое приближение, принимает ся $\frac{C}{C_0}=1$. Тогда с таким же приближением получим:

$$\beta_x = \frac{z_x}{z_0} \cdot \frac{C_{1x}}{C_0} = K_x, \tag{17}$$

где Кя в силу (8) будет равно

$$K_x = \frac{1}{\left(1 + \frac{2m\sqrt{2}}{4p} \frac{V_{AB}}{C_0} \frac{x}{B}\right)^3}.$$
 (18)

Таким образом с учетом (17) и (18), (16) примет вид:

$$C_{1x} = \frac{\sqrt{gH_0}}{2} \left| 1 - Fr + \right|$$

$$1 + Fr \left[\frac{3}{\left(1 + \frac{\alpha m \sqrt{2}}{4p} \frac{\sqrt{gz_0} x}{C_0 B} \right)^2} - 2 \right] + Fr^2$$
 (19)

После интегрирования (19) в пределах от 0 до L и введения новых обозначений

$$\sqrt{1 + Fr + Fr^{8}} = A. 1 + \frac{2m\sqrt{2}}{4p} \frac{\sqrt{R^{2}}_{0}}{C_{0}} \frac{L}{B} = D. \sqrt{3Fr + (1 - Fr)^{2}} D^{6}$$
(20)

получим:

$$C_{1c\rho} = \frac{V \otimes H_0}{2} \left\{ 1 - Fr + \frac{1}{D-1} \left[R - A - \sqrt{3Fr} \ln \frac{1/3Fr + R}{(\sqrt{3Fr} + A)D} \right] \right\}$$
(21)

По формуле (21) можно булет методом последовательного приближения найти значение C_{1cp} , подставляя каждый раз полученное значение C_{1cp} вместо C_0 в выражение для D. Однако, цифровые полечеты показывают, что практически нет смысла уточнять C_{1cp} после первого приближения

Скорость распространения отрицательной волны по (2) равна

$$C_{2x} = 1/\overline{g(H_0 + z_x)} \left(1 + \frac{3}{4} \frac{z_x}{H_0 + z_x}\right) = v,$$
 (22)

где z_x высота отрицательной волны, которая по сравнению с H_0+z_1 незначительна. Пренебрегая членами, содержащими $\frac{z_x}{H_0+z_x}$ и $\binom{z_1}{H_0}^2$ как малого порядка по сравнению с другими членами и учитывая, что $z_x=z_x$ K_1 получим:

$$C_{2z} = V g H_0 \left(1 + \frac{-_0 K_x}{2H_0} \right) + v.$$
 (23)

где v — скорость частиц под волной, имеющая одинаковое направление с C_{2x} . Значение v определяется из следующего выражения:

$$v = \frac{Q_0 - Q_x}{B(H_0 + z_x)} = \frac{(1 - \beta_x) v_0}{1 + \beta_x \frac{v_0}{C_{1x}}}.$$
 (24)

Ввиду того, что порог водослива имеет конечную длину и через него сливается только часть волнового расхода, по длине порога поэтому 0 v . Иначе говоря, в начале порога $\beta_x=1$ и числитель (24) равен нулю, а второй член в знаменателе $\beta_x \frac{v}{C_{1x}}$ имеет максимальное

свое значение, г. е. $\frac{v_0}{C_0}$ последнее всегда меньше единицы). Далее, в звязи со сбросом воды через боковой водослив. В вдоль порога уменьшается, числитель (24) увеличивается, а знаменатель уменьшается. В случае бесконечной длины порога $\theta_x=0$, числитель (24) равен v_0 , а $v_0=0$, следовательно, можно принимать, что

$$v = (1 - \beta_x) v_0$$

Учитывая последнее, а также (17) и |20|, после интегрирования (23 и пределах от 0 до L, получим:

$$C_{2rp} = 1 - H_0 \left(1 + \frac{z_0}{2H_0D} \right) + v_0 \left(1 - \frac{1}{D} \right)$$
 (25)

Как и в случае (21) здесь, при решении практических задач, достаточно первое приближение, что подтвержлается подсчетами.

Согласно (7) охончательно получим:

$$C_{co} = \frac{V g H_n}{4} \left\{ 3 + \frac{z_0}{H_0 D} - Fr \left(\frac{2}{D} - 1 \right) + \frac{1}{D-1} \left[R - A - V \frac{3Fr}{(V 3Fr + A) D} \right] \right\}$$
(26)

Таким образом нетрудно видеть, что К выражается через следуюшие безразмерные спотношения:

$$K = K \left(\frac{1}{p} \cdot \frac{1}{H_0} \cdot \frac{L}{B} \cdot \frac{v_0}{V g H_0} \right)$$

Величины L, B, m, v_0 , H_0 , C_0 и z_0 или заданы или же могут быть определены по формулам для неустановившегося движения с ненаменным расходом вдоль пути. Что касается коэффициентов \circ и p, то значения их мужно определить экспериментально.

Определяя С из (26) и подставляя в (8), найдем значение K. Валее, средняя высота волны после бокового водослива определяется как $z=z_{\rm b}K$. Знам z при помощи графической зависимости $=f\left(\frac{z}{H_{\rm b}}\right)$ можно установить искомую величину $z_{\rm max}$. На рис. 3

приподится график значений К, полученных из опыта в по расчету. Приведенные данные соответствуют разным геометрическим размерам поперечного сечения потока и длиили порога бокового водослива

Кроме опытных данных автори приведены также опытные данные Джентилини, изятые из его заблиц [5], и соответствующие расчетные значения, полученные по формудам (26) и (8). Как видно из графика, результаты данных опыта и расчето удовлетворительно схолятся

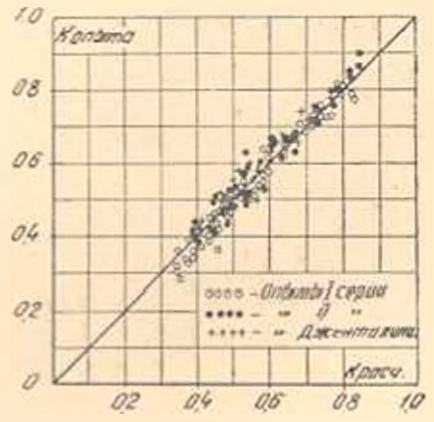


Рис. 3. Сопоставаение опытных и расчетных начений К.

Привелем качественную оценку правильности структуры выражения (8).

Если 1. — 0 то отсутствует слив воды. Следовательно величина 2 не

должна уменьшаться. Действительно из (8) вытекает, что если L=0, то K=1, следовательно $z=z_0$. Если L стремится κ бесконечности, то высота z будет стремиться κ нулю. Действительно, из (8) вытекает, что если L стремится κ бесконечности, то K=0, следовательно z=0.

В связи с этим интересно отметить, что формула Читрини для крайних значений длины порога бокового водослива I. дает результат, противоречивающий природе явления. Так, полученное выражение Читрипи имеет вил*:

$$y_{f}(y_{i}-1) \left[1+\frac{3}{4}(y_{i}-1)\right] + (y_{i}-y_{i}^{2}) \left[1+\frac{3}{4}(y_{i}+1) - \frac{m}{2} \frac{L}{B} A(y_{i}+y_{i})^{2}(y_{j}+y_{i}-2)\right]$$

$$y_{f}+y_{i}+A(y_{i}^{2}-1) \left[1+\frac{3}{8}(y_{f}+1) - y_{i}-1\right] \left[1+\frac{3}{4}(y_{i}-1)\right]$$

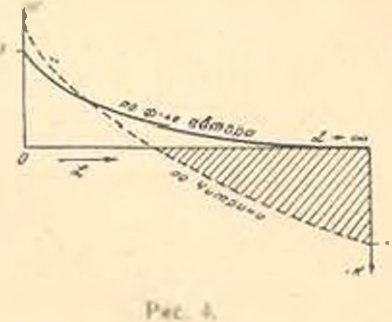
$$\frac{1}{8} \frac{(y_{f}+y_{i})(y_{f}+y_{i}-2)}{A(y_{f}+y_{i})}$$

$$A = \frac{\sqrt{gH_{0}}}{2}, y_{f}=1+\frac{2}{H_{0}}, y_{i}=1+\frac{2}{H_{0}}$$

Если L=0, то $z\neq z_0$, K=1 (уравнение двет не однозначное решение).

Если I стремится к бесконечности, уравнение дает два решения $z=-z_0,\ z=-\left(2H_0+z_0\right)$ и $K=-1,\ K=-\left(1+\frac{2H}{z_0}\right)$. Ясно, что

ин то ин другое значение не действительно, так как z не может быть меньше нуля.



На рис. 4 приведены схематические кривые, построенные по двум значениям K, соответствующим предельным значениям L. Кривая (сплошная) K = K(L), полученная ло (8), как выше было показано, на концах имеет действительные значения (L = 0, K = 1: $L \to \infty$, $K \to 0$) и только во внугренней части кривая может иметь

некоторое отклонение от действительных значений, в силу тех допу-

[•] Обозначение Читрини.

щений, которые были сделаны при получении выражения K. Крайние значения аналогичной пунктирной кривой, полученной по формуле Читрини, отклоняются в разные стороны от действительных значений K. На рис. 4 показано только одно значение нижнего конца кривой. Очевидно при втором значении K, когда L стремится к бесконечности, криная опустится еще ниже, τ . е. на величину $\frac{2H_0}{L}$

Далее вполне логично, что для малых значений C_{cp} или B, K по (8) получается меньше. Все вышеизложенное подтверждает правильность структуры формулы (8) для коэффициента K.

Рассмотрим теперь выражение (21). Если L стремится κ нулю, то C_{tep} должна стремиться κ C_0 . Но когда L стремится κ 0, D стремится κ 1, по (21) получится неопределенность. Раскрывая ее почленю, получим:

$$\lim_{D \to 1} \frac{1}{D-1} (R-A) = \frac{1-Fr}{1-Fr+Fr^2}$$

а для другого члена применяя правило Лопигаля, найдем:

$$\lim_{D\to 1} \frac{\sqrt{3Fr}}{D-\Gamma} \ln \left(\frac{\sqrt{3Fr} + R}{\sqrt{3Fr} + A} \right) D = \frac{3Fr}{\sqrt{1 + Fr} - Fr^2}$$

Следовательно

$$\lim_{D \to 1} C_{1cp} = C_0 = \frac{V g H_0}{2} \left(1 - Fr + V \right) + \frac{1}{1 + Fr + Fr^2}$$
 (27)

Легко видеть, что и случае x=0, т. е. $Q_x=Q_0$. ($^0_x=1$) выражение (16) превратится в (27).

Если L стремится к бесконечности, то z стремится к 0. В этом случае D стремится к бесконечности и по (21) получится неопределенность. Но так как

$$\lim_{D \to \infty} \frac{1}{D-1} (R-A) = 1 - Fr + \lim_{D \to \infty} \frac{V \cdot 3Fr}{D-1} \ln \frac{V \cdot 3Fr + R}{(V \cdot 3Fr + A) \cdot D} = 0.$$

то получим:

$$\lim C_{1cp} = \sqrt{gH_0} - v_0.$$

Тот же результат, когда г стремится к 0, получится из (14).

Перейдем к анализу выражения (25). Если L=0, то D=1 значит

$$C_{Rp} = \sqrt{gH_0}\left(1 + \frac{1}{2}\frac{z_0}{H_0}\right)$$

Если L стремится к бесконечности, то D тякже стремится к бесконечности, и тогда

$$G_{ab} = 1 gH_0 + v_0.$$

Предположим, что волновому расходу Q соответствует средням нысота волны до бохового волослива z_0 , что величина L рассчитана для обеспечения сброса при установившемся движении того же расхода Q, при напоре волы над гребнем h, определяемого по формулям:

Волновой расход Q можно выразнів как Q = Q' + Q, гле Q' волновой расход уменьшенной волны (z), распространяющейся за подосливом, Q часть расхода, которая сбрасывается при прохождении волной длины порога L.

Обозначим через Q" фиктивный расход, соотнетствующий определяемому расходу по формуле:

Во всяком случае должно быть $Q^* - Q_\bullet$, так как сброс воды при движении водим вдоль порога начинается с высоты $z_0 > z$. Тогда

$$Q_* = Q - Q' \geqslant Q''$$
 RIB $Q \geqslant Q''$.

Учитывая значения Q и Q', получим z < h. Если h считать по формуле бокового водослива, то значение его получится больше, так кох коэффициент расхода при этом меньше. Следовательно, при всех случаях, когда длина порога бокового водослива расчитана для сброса при установнишемся движении расхода Q при глубние на пороге h. то какой бы величины ни была средняя высота волны до водослива z₀, с волновым расходом Q, всегда средняя высота волны после водослива z, меньше чем h. Ето стихаь те свечист, что z сстестся костоянной и меньше h. Она с течением времени пол воздействием сил трения и плиянием отражения будет расти до h. С этого момента и наступит установившееся движение. Отсюда следует, что для практики конечной целью расчета должно быть нахождение максимальной высоты полны z_{тиг}, а следовательно и наняваещей отметки подъсми уровия после водослива.

Полученная закономерность относительно z и h подтверждается опытами. Им будет посвящена следующам статья автора

Нодно-энергетический институт АН Арминской ССР

Поступило 21 1 1958

Վ. Ն. ԺԱՍԱԴՈՐԾՑԱՆ

ԱԼԻՔԻ ՇԱՐԺՈՒՄԸ ԿՈՂԱՅԻՆ ՋՐԹԱՓԻ ԵՐԿԱՐՈՒԹՅԱՄՐ

Lidyndinid

Ջրատարի վերջում, փականների արադ փակման մամանակ, օրինակ հիդրոկայանի վխարի դնպրում, անւաջանում է դրական ալիր, որը շարժվում է ջրի սկզբնական հոսանրին հակասակ ուղղուխյամբ՝ դնպի վեր։ Ջրատարի չափնրը ընտրելիս այդ հանդամանքը ստիպում է հաչվի առնել սկղբնական հասատաված հոսանրի հորիդոնին դումարվող դրական ալիքի բարձրախյունը։

Հաճախ, ջրատարի վերջում կողալին ջրխափ են կատցում, որը, իր վրալով հեռացնելով ալիքի ելքի մի մասը, փոքրացնում է նրա րարձրությունը։ Ալիքի րարձրության փոքրացումը կապված է ջրատարի չափերի կրճատման և նրա աշխատանքի յավացման հետ։

հողային ջրինանի հրկարությանը շարժվող ալիքի ուսումնասիրմանը նվիրված նախորդ հեղինակների աշխատանքներում ինոյիրն տոաջ է մդված որոշակի, սակայն պրականկ կիրառման համար՝ ոչ րավարար աստիճանի։ Այդ պատճառով ներկա աշխատանքը նպատակ ունի ստանալ հաշվային պարգ արտահայատ թյուններ, որոնցով կարելի կլինի ինժեններական հաշվայնների համար րավարար ճշատ թյամ ը որոշել ջրթափից հետո ալիքի մնացած բարձրաթյունը։

Որպիս առուվիլ վտանդավոր դեպը հիմնականում ըննարկվում է ուղղանկյուն կարվածը անհցող ջրատարի վերջում փականների միանդամից, լբիվ փակման դեպըը։

Թևորապես իմալիբը հանգում է դրական ալիրի տարածման պրոցեսի քանակական կոցմի որոշմանը, երը նրանից ճանապարհին անընդհատ տեղի է «մնենում մաստայի անջատում։

Հարցի հատղոտումը կատարված է հրկու ձևով։ Առաջինը՝ այիքային ճակատի հրկարությամբ շարժման անդիսինիության հավասարման անմիջական ինտեղբման օգնությամբ է նր որում շարժումը ընդունված է միաչափ, սակարն անկորհիության հավասարման մեջ մայիած է ի դործակից, որը որոշակորին հաշվի է առնում այն, որ օրթափի շնորհիվ առաջացած հւքի փոփոխությանը է աստրածվում այնիարքերին ջրատարի ամրողջ լայնությամբ։ Ալսուհետև, ջրթափի հլքի համար ընդունված է ռուղիղ ջրթափի րահաձևը, սակայն, ըստի որ կողային ջրթափի տարհանարար է մանում աշիտահանը, սակայն, ըստի որ կողային ջրթափի տարհանարար է մանում աշիտահանը, սակայն դեպրում շուղիղ ջրթափի հլքի գործակիցի և չհաստատակած շարժման դեպրում հույն այրոֆիլի կողային ջրթափի հլքի գործակցի և չհաստատված շարժման մամանան նույն այրոֆիլի կողային ջրթափի հլքի գործակցի և չհաստատված շարժման մամանակ նույն այրոֆիլի կողային ջրթափի հլքի գործակցի տարթերությունը։ Սյուս լումումը ստացված է խարակահրիստիկ հավասարումների մեթողի կիրաոման միջոցով։

եկ. 3 րերված է մի ամվույիիչ դրաֆիկ, որը տալիս է փորձերից ստացված և (10) րանաձեռվ հաշված ալիրի բարձրության փուրրացման դործակցի՝ արժեղմների համեմատաթվունը։ Ստացված կետերը բավարար հետ։ Բերված ավյալները վերարերում են ջրատարի ընդլալնական կտրվածրի հետ։ Բերված ավյալները վերարերում են ջրատարի ընդլալնական կտրվածրի ատրրեր երկրաչափական չափերին և Լողային ջրթավի տարրեր երկարությանը։

ЛИТЕРАТУРА

- Маккавесь В. В., Коновалов И. В. Гидравянка, 1940.
- 2. Петров Г. А. Движение жидкости с наменением расхода вдоль пути. 1951.
- Carlo Drioli, Esperienze sul moto perturbato nel canali Industriali. L'Energia Elettrica, fast IV e V. 1937.
- 4. Duito Citrini. Sull'attenuazione di un'onda postilva ad opera di uno sfioratore l'aterale, L'Energia Elettrica, 38 10, 1949.
- Bruno Gentiliai, L'azione di uno sfioratore laterale sull'ond positiva ascedente in un canale. L'Energia Elettrica, № 1, 1950.
- 4*пхангельский В. А.* Расчеты пеустановившегося движения в открытых подотоках, 1947.
- 7. Егиаларов И. В. Неустановившееся динжение и даннных бъефах. Известия ВНИИГ, № 21, 1957.
- 8. Егиаларов И. В. Гидроэлектрические силовые установки, III ч., 1937

Տեխնիկական գիտուր սեշիա

XI, № 5, 1958

Серия техняческих наук

ПРИКЛАДНАЯ МЕТЕОРОЛОГИЯ

A. M. MXHTAPЯH

К ОЦЕНКЕ МИНИМАЛЬНОЙ ГЛУБИНЫ ОЗЕРА СЕВАН С ТОЧКИ ЗРЕНИЯ ИСПАРЕНИЯ

Вопрос о влиянии глубины оз. Севан на испарение с его поверхности очень важен и связи с продолжающимся спуском его уровня. Если в естественных условиях оз. Севан—глубоководный водоем, то со спуском его уровня он станет мелководным. Это приведет к резкому изменению его термического режима. Ход температуры возы станет ближе следовать за ходом температуры воздуха, ход испарения приблизится к ходу температуры поверхности поды, прогрев в летнее время значительно усилится, ныне почти исзамерзающее озеро станет замерзающим почти ежегодно. Это принедет к значительному увеличению сумм испирения в теплую часть года и к уменьшению — зимой.

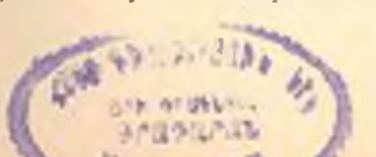
Все это учитывалось еще В. К. Давыдовым [1]. Но при составлении водного бяланса оз. Севан им не произведена соответствующая оценка, так как по старой схеме Б. Севан должен был быть полностью осущен, поэтому вопрос увеличения яспарения при достаточно быстром завершении спуска Б. Севана тогда не имел бы значения. Сейчас, в связи с необходимостью сохранить уровень оз. Севан на достаточно высокой отметке, такая оценка совершенно необходима.

Хотя в литературе имеется понятие о глубоководных и мелковолиых волоемах, исе же нет критерия, характеризующего переход между ними. Он зависит, очевидно, от многих факторов, определяющих гидрометеорологический режим водоемов.

В условиях Севана можно предложить много различных определений, остановимся на двух:

- 1) Глубаководным считается водоем, дно когорого не принимает участия в процессах теплообмена, в отличне от мелководного, дно которого принимает активное участие в формировании его термического режима
- 2) Глубоководным считается водоем, который, как правило, не замерзает, в отличие от мелководного, который почти всегда замерзает.

Нам представляется возможным оценить глубниу, при которой ано примет значительное участие в испарении с поверхности водоема и грубо оценить при этом суммы испарения в годовом разрезе, от-



мечая, что при дальнейшем спуске испарение станет значительно большим.

Поставим для этого следующую задачу. Известен годовой ход температуры поверхности воды. Определить глубину в условиях Севана, до которой проникают поверхностные температурные нозмущения-Напишем уравнение теплопронодности и турбулентном движении жидкости

$$\frac{\partial T}{\partial t} + u \frac{\partial T}{\partial x} + v \frac{\partial T}{\partial y} + w \frac{\partial T}{\partial z} = \frac{\partial}{\partial x} \left(k' \frac{\partial T}{\partial x} \right) + \frac{\partial}{\partial y} \left(k' \frac{\partial T}{\partial y} \right) + \frac{\partial}{\partial z} \left(k \frac{\partial T}{\partial z} \right) + \varepsilon.$$

Здесь x, y, z — координаты точки, начало координат расположено на поверхности, z — направлено вертикально вниз, t — время; T — температура; u, v, w — компоненты скорости: ε — приток тепла; k' v k — коэффициенты турбулентной температуропроводности по горизонтали и вертикали соответственно.

В условиях Севана это уравнение можно в первом приближении заменить более простым уравнением

$$\frac{\partial T}{\partial t} = k \frac{\partial^2 T}{\partial z^2}.$$
 (2)

Из всех допущений наиболее существенным является условие k = const. В настоящее время в условнах Севана этот коэффициент изучается, и скоро будет получена зависимость

$$k = k(z), \tag{3}$$

что дает возможность внести первое уточнение.

Представим темперятуру в виде

$$T = T + T'(z, t). \tag{4}$$

7— некоторая средняя температура. Т'— отклонения температуры. Тогда ясно, что 7 определяется из уравнения

$$\frac{\partial T}{\partial t} = k \frac{\partial T}{\partial z^2} \tag{5}$$

Граничные условия имеют вид:

$$T = T_{r}(t)$$
 now $z=0$.
$$T = 0$$
 now $z \to \infty$.

Представим $T_{ij}(t)$ — отклонения температуры поверхности воды (известная функция времени) от среднего ее значения, в виде ряда Фурьс.

$$T_0' = \sum_{n=0}^{\infty} \left[a_n \cos \left(n \Omega t \right) + b_n \sin \left(n \Omega t \right) \right].$$

Здесь и b_n — постоянные коэффициенты; $\Omega=2.10^{-1}$ I/сек. угловая скорость вращения Земли вокруг Солида.

Решение уравнения (5) ищем в виде:

$$T'(z, t) = \sum_{n=0}^{\infty} \left| e^{-z_n z} \left| A_n \cos \left(n\Omega t - z_n z \right) - B_n \sin \left(n\Omega t - z_n z \right) \right| \right|. \tag{8}$$

При этом условие на бесконечности удовлетворено, условие на z=0 тает $A_n=a_n$ и $B_n=b_n$, а подстановка (8) в (5) дает

$$z_{s} = \sqrt{\frac{n\Omega}{2k}}.$$
 (9)

Тогда получается следующее решение

$$T^{*}(z, t) = \sum_{n=0}^{\infty} e^{-z\sqrt{\frac{n\Omega}{2k}}} \left| a_{n} \cos\left(n\Omega t - z\sqrt{\frac{n\Omega}{2k}}\right) + b_{n} \sin\left(n\Omega t - z\sqrt{\frac{n\Omega}{2k}}\right) \right|. \tag{10}$$

Пример. Согласно данным наблюдений в нижеследующей табляце 1 приводятся отклонения температуры поверхности воды.

 Ταθλιυμα Ι

 Ταθλιυμα Ι

 Το 3.4
 1.8
 1.5
 3.3
 7.6
 13.2
 16.7
 17.9
 17.2
 14.2
 10.5
 6.4
 9.5

 Το -6.4
 -7.7
 -8.0
 -6.2
 -1.9
 3.7
 7.2
 8.4
 7.7
 4.7
 1.0
 -3.1
 0

Далее строится кривая $T_n = f(\Omega t)$ и по ней берутся значения T_n через каждые $\Omega t = 15$. Эта функция разлагается в ряд Фурье и определяются a_n . Далее по формуле

$$T'(z, t) = a_0 + \sum_{n=1}^{6} e^{-z^{n-1}} [a_n \cos(n\Omega t - zV n) + b_n \sin(n\Omega t - zV n)]$$
 (11)

восстанавливается Т (z, t), при различимх значениях z, причем

$$z = 1 - \frac{1}{2k}z. \tag{12}$$

В случве молекулярной теплопроводности $k=10^{-6}$ м²/сек. Подставляя значения k и Ω в (12), получим z=3.15z.

В случае же турбулентного перемещивания коэффициент обмена переменный, для приноверхностных слоев имеет порядок

 $k=10^{-4}$ м²/сек; далее с глубиной он уменьшается и приближается к k_0 . Расчеты по различным методам позволяют принять для среднего значения этого коэффициента величину $k=3.10^{-5}$ м²/сек. При этом $z\simeq17.3$ z. В таблице 2 представлены глубины для соответствующих номеров кривых рис. 1.

z — безразмерная глубина,

глубина в метрах при молекулярной теплопроводности,

 z_1 — глубина в метрах при турбулентном переменивания.

Таблица	- 12
---------	------

криных криных	1	2	3	4	.5	6	7	8
9.	0,0	0.1	0,3	0,5	0.7	1,0	2,0	3,0
2	0,0	0,31	0,94	1,57	2,20	3,15	6,28	9,42
z_1	0,0	1,73	5,20	8,63	12,10	17,31	34,62	51,81

Результаты этих расчетов представлены на рис. 1 и 2. На рис. 1 представлен головой ход температуры на различных глубинах; на рис. 2—профили для различных месяцев. Рис. 1 и 2 показывают, что даже для случля грубого анализа температурные возмущения проникают до глубин ворядка 20—30 и, но амилитуды колебаний на этих

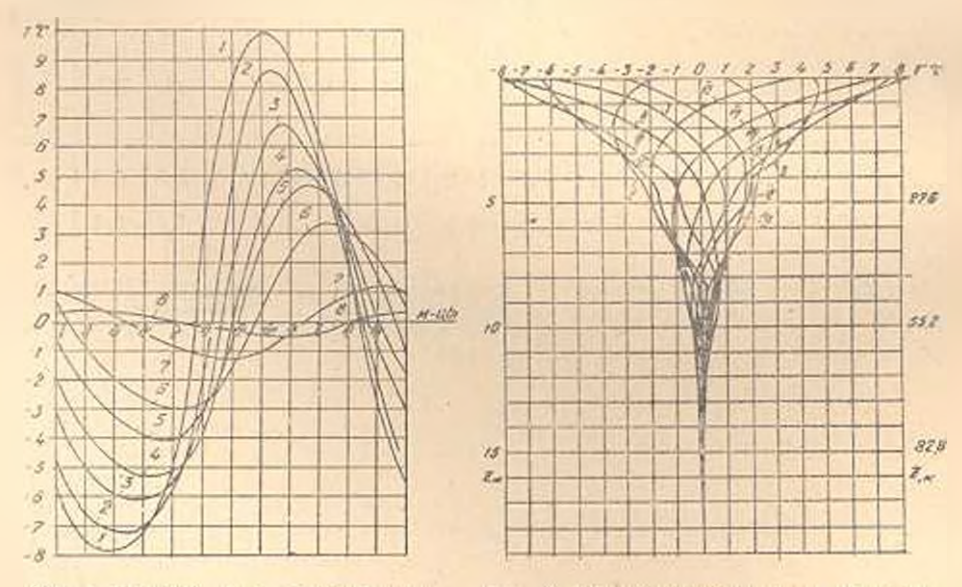


Рис. 1. Годовой ход температуры воды на различных глубинах.

Рис. 2. Вертикальные профили температуры воды в различные месяцы.

глубинах практически небольшие. Если считать амплитуды в $\pm (3-4)^{\circ}$ С допустимыми, чтобы дно стало принимать активное участие в теплообмене, то глубину свизу следует ограничить величиной порядка 18-20 м. При глубинах меньше 18-20 м испарение будет увеличиваться, влияние дна станет значительным.

Следует отметить два обстоятельства. Во-первых, при стоянии озера с глубиной 18—20 и значительно изменится годовой ход темнературы: во-вторых, в значительной части Б. Севана глубины будут намного меньше 18—20 и что в свою очередь приведет к укеличению испарения.

Чтобы грубо оценить величину, до которой может увеличиться испарение, предположим, что озеро в своей большой части прибличится к условиям испарительного бассейна, площадью 20 установленного на острове. Тогда исно, что испарение в летине месяцы с озера при глубине 18—20 и будет почти таким, как с бассейна: в зимнее же время будет больше, чем с бассейна.

Пользуясь фактическими данными за 1955 г. (май поябры и 1956 г. (май октябры), восстананливая испарение за зимние месяцы по формуле бассейна для озера, а также ведя расчет по формуле бассейна для современных условий уреза, несколько уменьшая зимнее испарение, получаем 1100 мм за 1955 г. и 1180 мм за 1956 г. Подобная оценка для испарителя ГГН—3000 в грунте дает 1200 мм голько за период май—октябрь. Эти оценки дяют основание ползгать, что при лубниях порядка 18—20 м со значительной части площади озера испарение будет порядка 1000 мм в год. Поэтому целесообразио ограничить дальнейший спуск озера Севаи с оставлением слоя воды не менес 18—20 м, во избежание значительного испарения с его поверхности.

Водно-энергетический институт АН Армянской ССР

Поступняю 26 V 1958

U. U. ITHEPHERADA

ՍԵՎԱՆԱ ԼՃԻ ՆՎԱԶԱԳՈՒՑՆ ԽՈՐՈՒԹՅԱՆ ԳՆԱՀԱՏՄԱՆ ՀԱՐՑԻ ՄԱՍԻՆ՝ ԳՈԼՈՐՇԻԱՑՄԱՆ ՏԵՍԱԿԵՏԻՑ

Kiffindinid

Սևանա ապադա արան շարցի լումումը չատ կարևոր , քանի որ ալժմ դևո չարունակվում է լճի մակար ակի իջկղումը, որի հետևան Սևանը մեծ իուրունլան օրամբարից կարող է անցնել և խորունլան որաքարիլ կարող է անցնել և խորունլան որաքարիլ և ջնթմաստ այն ստարևկան ընթացքը ավելի կմոտենա ոդի հերմաստիճանի տարևկան ըն ացքին, լճի օրևրի տաքացումն առմա ընթացքում կումեղանա, այմ համարլա շատուող լիճը կստոչի դրևնն ամեն ձևևու Ալդ բոլորը կշանգեցնեն այն բանին, որ առանց այդ և կոլոր-իացումը տարվա փոքրաքանակ ոլոր հացումն ավելի հայանակի ինտենակվ, իսկ ձևևովա փոքրաքանակ ոլոր հացումն ավելի հայանի հայանի են դեղ դեռ անիացքում այնին ին ինտենակն և դեռ դեռ հայանացրում այնին ին արև դեռ չրերի օգտադութնման և սիսենականալ Մեծ Սևանը պետք է չորացվեր ամբողջունին, ապա Սևանի նվացում իսորունյան կարևոր չէր։

Ալժմ Մեծ Սեանի ժակարդակը բարձր նիջնրի վրա պահելու անհրաժնշառւթյան պատճառով, ալդ հարցը դառնում է առաջնաների, ուստի հոդժածում ընրվում է այդ խնդրի ժոտավոր լուժումու հաշիմները ցույց են տաչիս, որ Սևանի իւորությունը պետք է պահպանել ոչ պակաս 18—20 մ, ալլապես նրա մակերևույթից գոլորչիացման բանակը անհամեմատ կմեծանա։

Լուժվում է (6) հավաստումը լճ տահմանալին պայմանների դեպբամ Լուվումն ստացված է (10) տեսքով։

Վերջում ընթված կորհրդ ցույց են տալիս, որ օրի ջերմաստիճանի տարեկան տատանումների ամպլիաուցան տարածվում է մինչև բավականաչափ մեծ խորություններ Հոգվածի վերջում տրվում է գոլորքիացման քանակի դնահատականը, հիմնվելով կզգում տեղավորված ՀՍ ըմ մակնրես ունեցող դոլորջիացնող ջրավագանի տվյալների վրա։

JHIEPATYPA

1, мания В в Волими балике этера Серди, М. .. 1938 г.

известия академии наук армянской сср

ժեխնիկական գիտութ, սեբիա

XI, No. 5, 1958

Серия технических наук

ГИДРОЭНЕРГЕТИКА

С. Г. САРКИСЯН, С. А. МХИТАРЯН

К РАСЧЕТУ ПИКОВОЙ МОЩНОСТИ И ЕМКОСТИ БАССЕЙНА СУТОЧНОГО РЕГУЛИРОВАНИЯ ДЕРИВАЦИОННЫХ ГЭС

Изменение в системе потребления электроэкертии по часам сугок требует приведения в соответствии с этим потреблением выработку «лектроэкертии на электростанциях.

В большинстве случаев регулирование суточной выработки ситемы осуществляется гидроэлектрическими станциями, которые для этой
тели имеют бассейны суточного регулирования БСР. С помощью этих
зассейнов, в часы повиженной нагрузки, осуществляется аккумулирочание воды с тем, чтобы в часы максимума потребности системы выучастить дополнительную эпергию. Из сказанного ясло, что степень
участия гидростанции и покрытии ника суточной нагрузки системы
определяется энергоемкостью бассейна суточного регулирования (БСР).

Сооружение БСР необходимой энергоемкости на данной гидроганции в значительной степени зависит от местных геологичеких и гопографических условий, которые могут оказаться благоприатными на установках отдаленных от центра потребления энергии. При сооружении БСР на данной гидростанции в течение суток в центр потребления передается не только базисная, но и никовая мощность. Передача значительной по своей величине пиковой мощности и энерти из района выработки ее в район потребления сопровождается их потерями Следовательно, емкость БСР на гидростанциях, ведущих уточное регулирование в системе должна расчитываться из условия токры ия как пиковой нагрузки, так и потерь, возникающих при перезаче виковой эвергии от ГЭС к центру ее потребления.

Степень участия данной ГЭС в покрытии суточного максимума чагрузки, определяемая энергоемкостью БСР и пиковой мощностью, юджна быть экономически обоснованной

Существующие способы оценки энергосмкости БСР разработаны вязке с выбором мощности, как при изолированно работающей детинационной ГЭС [4], так и при параллельной работе двух гидростанций [5].

Однако, ни в одной из указанных работ не учтен такой нажный рактор, как передача энергии от места се выработки к месту погребнения, хотя имеется указание на то, что неучет потеры мощности в чиниях может привести к неверным суждениям относительно пачаметров тех или иных объектов и оптимального распределения

активных мощностей между отдельными станциями для каждого мимента времени [7].

Вопрос создания БСР, с точки эрения инженерного его решения, находится в зависимости от тина гидростанций. Так, в случае приплотинных ГЭС в результате поднора плотиной верхнего бъефа реки образуется русловое водохранилище, в большинстве случает достаточное для ведения суточного и более длительного регулирования. Решающей в этом случае является технико-экономическая эффективность увеличения высоты плотины. Относительно просто решается задача о создании БСР также в тех случаях, когда смкость его определяется заведомо выгодными местными условиями.

На деривационных гидроэлектростанциях БСР создаются и тех случаях, когда по трассе канала имеются благоприятиме геолого-тонографические условия. В противном случае затраты, связанные с получением пиковой энергии, получаются большие и не всегля оправданы.

На основании сказанного можно сформулировать задачи исследования, которые заключаются в разработке способа:

- а) выбора емкости БСР на деривационных гидростанциях из расчета покрытия пиковой нагрузки и потерь энергии при передаче, и
- б) оценки энерго-экономической эффективности участия данной ГЭС в покрытии максимума нагрузки системы с учетом мотерь в линиях передачи.

Базисная часть графика нагрузки системы покрывается незанисимо от емкости БСР на гидростанциях и режима их сработки, поэтому в настоящем исследовании рассматривается та часть графика нагрузки системы, которая покрывается за счет някопленной в БСР энергии Здесь в качестве расчетного принимается суточный график нагрузки системы по максимальной потребности как мощности, так и энергин

Система предполагается состоящей из высоконапорных дериващионных гидростанций, местоположение которых в районе энергоснабжения установлено в результате проектных изысканий (каскад ГЭС не рассматривается). Как было сказано выше, передача значительной мощности от места выработки к центру потребления приводит к ощутимым потерям ее в линиях передачи. Эти потери слагаются из потерь активной и реактивной мощностей. Так как потери активнои мощности в линиях передачи покрываются дополнительной выработкой генераторов системы, то необходимо увеличение генерирующих мощностей против потребностей нагрузки. В результате возникают пополнительные капиталовложения и ежегодные затраты эксплуатации по генерирующему аппарату системы.

В настоящем исследовании, в силу сказанного, учитываются потери только активной мошности, величину которых нетрудно определить с помощью формулы (2)

$$\Delta P = \frac{P_{\text{war}}^2}{U^2} R_i \tag{1}$$

где $P_{\text{мах}} = P_{\text{баз}} + P_{\text{пик}}$ наибольшая суммарная нагрузка данной электростанции в мгвт;

P621 базисная нагрузка:

P_{пик} — пиковая нагрузка:

 С номинальное напряжение передачи в киловольтах, принимаемое в настоящем исследовании пенэменным;

R = активное сопротивление лишии передачи в омах.

Потери энергии, которые кроме величины потерянной мощности (ΔP) определяются временем наибольших потерь мощности τ) могут быть подсчитаны с помощью выражения

$$\Delta \Theta = \Delta P = 0$$
 (2)

В выражениях (1) и (2) величина наибольшей нагрузки ($P_{\text{мах}}$) определяется долей участия данной электростанции в покрытии базиса и ника графики нагрузки системы.

Величина т в выражении (2) равна числу часов, за которое при передаче энергии с наибольшей нагрузкой ($P_{\rm мах}$) потери энергии в линии будут равны действительным потерям энергии в ней и течении года. Это положение можно представить в виде следующего выражения

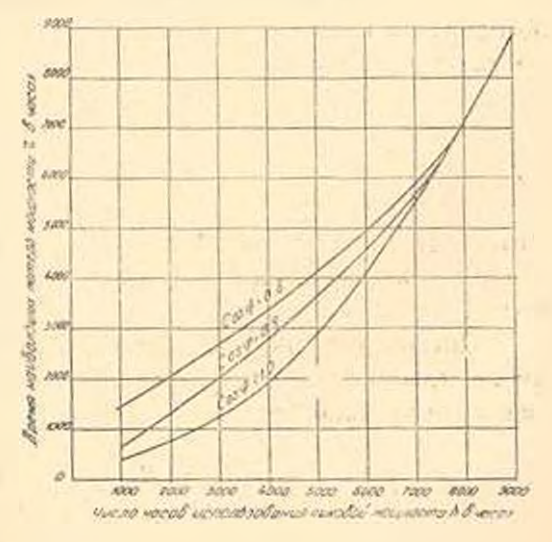
$$\int_{0}^{t} Pd t = P_{\text{max}}z.$$

При решении практических задач время наибольших потерь определиется с помощью графиков $\tau = f(h)$ [2], где h число часов использования наибольшей нагрузки. Для пользования кривыми f(h) нало знать кроме числа часов использования нагрузки, также и средневзвещенный по системе коэффициент мощности (cos φ).

При решении поставленных в настоящем исследовачин задач необходимо считаться с влиянием напора гидростанций на энергоемкость БСР.
Если считать, что покрытие
пика нагрузки осуществляется
лвумя деривационными гидростанциями, то создание БСР,
при прочих равных условиях,
«ледует считать пелесообразным на той гидростанция, напор которой больше.

Это положение легко ус-

$$\mathcal{J}_{L} = \frac{W_{L} \cdot H \eta}{367} \cdot (3)$$



PRC. I

которая указывает на то, что энергоемкость БСР, при одинаконых объемах, булет тем большей, чем больше напор данной установки

В результате, каждая из гидростанций обладает различной возможностью участия в покрытии инковой нагрузки системы.

Если принять, что потребность в пиковой энергии равна Эпи, и, что эта энергия вырабатывается двумя гидростанциями, то одна из инх должна выработать энергию Эпи а вторая Эг. В величину этих выработок не включены потери передачи, т. е. дана энергия на шинах потребителей Условие покрытия янка нагрузки по энергии можно записать так:

$$\beta_1 + \beta_2 = \beta \tag{4}$$

Учитывая возникающие при передаче этой энергии потери. БСР первой установки должен иметь энергоемкость равную:

$$\vartheta_{5} = \vartheta_{1} + \vartheta_{0070}$$

а второй $9_{b_4} = .9_{a} - .9_{mor, c}$

Тогла выражение (4) запишется так:

$$\mathcal{J}_{E_{a}} = \mathcal{J}_{\text{trut}}, \quad \mathcal{J}_{E_{a}} - \mathcal{J}_{\text{flot}_{1}} = \mathcal{J}_{\text{flot}_{1}}, \\
\mathcal{J}_{E_{a}} = \frac{W_{E_{a}} H_{1} \eta_{1}}{367} \text{ if } \mathcal{J}_{E_{a}}, \frac{W_{E_{a}} H_{3} \eta_{1}}{367}, \quad (4.1)$$

FAR

14

 H_1 в H_2 — напор первой и второй гидростанции в метрах; W_{b_1} в W_{b_1} — объем ВСР этих установок в \varkappa^2 ;

т — кид установки, который для облегчения расчетов принят одиняковым для обенх установок.

Для этих установок известными, по условию. Іявляются напоры H_1 и H_2 . Поэтому все пходящие в выражение (4') составляющие целесообразно привести к известным величинам. Такое приведение можно сделать, положив

$$H_1 = k_1 \; H_2$$
, где $k_1 = 1$ $W_{\mathrm{B}_1} = k_2 \; W_{\mathrm{B}_2}$, где $k_2 = \frac{1}{k_2}$.

Это следует считать справедлиным, гак как объемы водохранилищ в напоры при одинаковой энергоемкости находятся в обратной зависи мости.

Потери энергии в линиях передачи, определяемые формулой (2), гакже можно записать выраженные через долю запасной в БСР энергии в следующем виде:

$$\hat{\sigma}_{-\tau_i} = -\frac{W_0 H^2 \eta^2 R_*}{367^2 U^2} \text{ in } \hat{\sigma}_{-\tau_i} = \frac{W_0 H^2 \eta^2 R_*}{367^2 U^2 \tau_i}.$$

В этих выражениях значения т₁ и т₂ определяются в первом приодижении по числу часов использования максимальной нагрузки системы при постоянном значении коэффициента мощности: Для этого по графику нагрузки системы определяются никовая мощность и никовая энергия. Первая из этих величин делится поровну между суточно регулирующими гидростанциями, вторая—пропорционально энергоемкости БСР этих же гидростанций. Далее, по напленному, в результате деления инковой энергии ил никовую мощность, числу часов использования установленной никовой мощности каждой из ГЭС определяем премя наибольших нотерь энергии $(z_1 u z_2)$ по кривым z = f(h).

После полстановки значении составляющих формулы (41 и привеления последней к известным величинам, получается:

$$\frac{1}{367} \frac{\eta H_2}{367^2} \frac{k_1 k_2 W}{367^2} \frac{R_3}{U^2} = \frac{367^3}{367} \frac{367^3}{367} \frac{7_3}{7_3}$$
(*)

Из этого выражения следует, что энергия пика, вырабатываемая на суточно регулирующих гидростанциях зависит, при прочих равных условиях, от объема БСР этих установок. Возникает задача получения высокого эпергетического эффекта покрытия пика нагрузки при минвмальных объемах БСР установок ведущих суточное регулирование. Это условие можно записать так:

$$\frac{d \cdot \vartheta_{mn}}{d \cdot W} = 0.$$

В силу (*) и (**) получим:

$$W_1 = \frac{183.5 L^2 \left(\frac{\pi}{1 - \pi}\right)}{H_2 \times R_2 + R_{\alpha_1}} \tag{5}$$

Отсюда нетрудно определить емкость ВСР другой установки (W_{B_i}) с вомощью выражения:

$$W_{E_i} = \frac{H^2}{H_E} W_{E_i}. \tag{6}$$

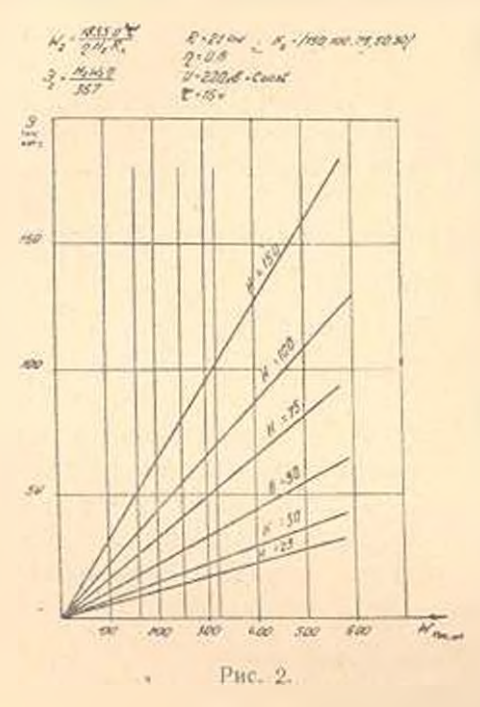
Может оказаться, что одна на гидростанций, на которую предполагается возложить функции суточного регулирования, находится в центре потребления, и этом случае потерями энергии в линии передачи можно пренебречь, а выражение (5) записать в виде:

$$W_{\rm b} = \frac{183.5 \ U^{2}}{H_{\rm e} \ r_{\rm i} \ R_{\rm a}} \tag{5}$$

Энергоемкость БСР занного объема (W) может быть определена с помощью графика, представленного на рис. 2. Энергоемкость БСР давного объема (W) может определяться при различных напорах в интервале 25—150 м. Для напоров промежуточных значений энергоемсость БСР определяется путем линейной интерноляции. При построеяни рис. 2 значение папряжения передачи принималось равным 220 км.

Приведенные выше соображения были построены исходя из ус-

ловий предельной технической целесообразности сооружения БСР для удовлетворения заданной нагрузки. Такое решение попроса является



необходимым, но недостаточным для сооружения БСР данного объема. Поэтому, после того как определены объемы БСР обенх устанонок, а следовательно и возможнос участие их в покрытии суточной нагрузки системы, необходимо энерго-экономически обосновать эффекгивность участия указанных ГЭС в покрытии пиковой нагрузки. Одновременно с этим надо обосновать установку на рассматриваемых гидростанциях некоторой пиковой мошности с учетом затрат связанных с передачей этой мощности в центр потребления.

Имеетси не мало работ, посвященных вопросу эперго-экономического обоснования участия ГЭС в покрытии суточной нагрузки припроектировании [6, 7] и при

эксплуатации [1, 3] энергетических систем.

В настоящем исследовании рассмотрен способ определения неличины пиковой мощности ГЭС, при заданной эпергоемкости БСР, исходя из условия минимума эксплуатационных затрат и необходимости компенсации потерь мощности при передаче ее в центр потребления

Если допустить, что покрытие пиковой нагрузки системы осуществляется двумя гидростанциями, работающими в гидроэнергосистеме, то суммарные ежегодные издержки эксплуатации их в части пиковой мощности можно представить так:

$$U_2 = U_0^* + U_0^* + U_0^* + U_{\text{gov}}, \tag{7}$$

где $U_{\rm E}^* = U_{\rm E}^* -$ ежегодные издержки эксплуатации по БСР первой и второй установок;

 $U_{\text{ком}}^{i}$. $U_{\text{ком}}^{j}$ — ежегодные издержки компенсации потерь мощности пиниях передачи.

В выражении (6) не включены издержин эксплуатации во линиям передачи, поскольку они булут сооружены для передачи базисной мощности указанных ГЭС в центр потребления независимо от того, могут эти гидростанции осуществлять суточное регулирование и системе или нет.

Отдельные составляющие выражения (6) можно представить развернутом виде:

$$= \frac{2 k 367 \, \vartheta_6}{U_{\text{MOM}}} \colon U_{\text{MOM}} = \frac{3 + \alpha_8 \cdot R_8}{U^2 + 2} (\vartheta_6 + \vartheta_{\text{HHK}})^3;$$

лесь и ж— коэффициент полных издержек, приведенных к кипиталовложениям по БСР и компенсирующей мощности. Полное выражение этого коэффициента дано в виде 171

$$x = x' + \frac{1}{T}$$

где \mathfrak{a}' — доля годовых издержек эксплуатации, а T — срок окупаемости k_n , k_n — удельные капиталовложения в 1 кати. запасенной в БСР энергии и 1 кат компенсирующей мощности.

h — число чисов использования максимума нагрузки.

нли

Суммарные издержки системы в их переменной части знаисит от мощности, установленной на гидростанциях. В рассматриваемом случае издержки зависят от суточнорегулирующей мощности ГЭС ($U_x = f(N_1, N_2)$). Кроме того, суточнорегулирующие мощности N_1 и N_2 связаны следующими условиями:

$$U_{1} + U_{1} = z_{1} \partial_{1} + z_{2} \partial_{2}$$

$$z_{1} (N_{1}, N_{2}) \qquad U_{2} - U_{0MA} = 0, \tag{8}$$

т. е. покрытие пика нагрузки и издержки, возникающие при этом, относятся к рассматриваемым гидростанциям.

В этом случае отыскивается условный экстремум, при котором обя аргумента связаны дополнительным условнем (8)

Для отыскания условного экстремума применяется метод Лагранжа, заключающийся в том, что в систему уравнений вводятся неопределенные множители, равные числу условий. В данном случае ввоцится только один неопределенный множитель к, после чего рассматривается функция вида:

$$F = f(N_1, N_2) + \lambda \psi(N_1, N_2). \tag{a}$$

Необходимые условия максимума и минимума функции определяются тремя уравнениями с тремя неизвестными:

$$F_N = 0, F_{N2} = 0; \neq (N_1, N_2) = 0.$$
 (6)

После дифференцирования первых уравнений по N_1 и N_2 и соотчетствующих преобразований получим:

$$= \frac{(A_{1} - A_{1})(h_{1} + \tau_{1}) + h_{1}(C_{2} - C_{1})}{2 h_{1}(B_{1} + B_{2})}$$

$$N_{2} = \frac{(A_{1} - A_{2})(h_{2} + \tau_{3}) + h_{3}(C_{1} - C_{2})}{2 h_{1}(B_{1} + B_{2})}$$

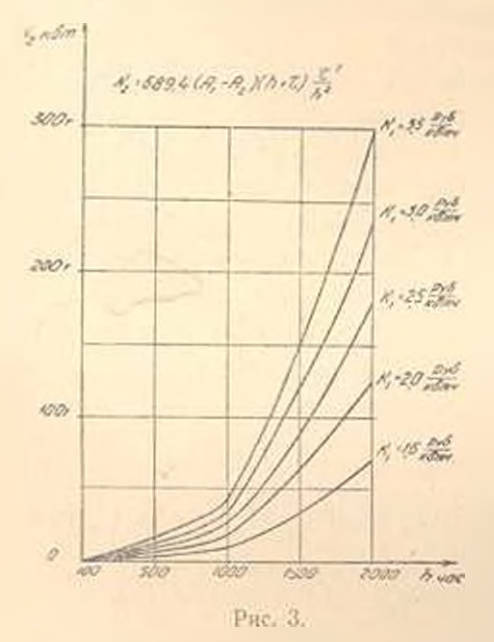
$$= \frac{(A_{1}B_{2} + A_{2}B_{1})(h_{2} + \tau_{1}) + h_{1}(B_{1}C_{1}1 - 2B_{2}C_{1} + B_{1}C_{2})}{2 h_{2}(B_{1} + B_{2})}, (9)$$

THE
$$A = \frac{367 \ a \ k}{H \ r}$$
, $B = \frac{3 \ a_{\kappa} k_{\kappa \kappa}}{U^2} R$, $C = \frac{6 \ k_{\kappa} \ a_{\kappa} \ R_{\kappa}}{U^2} R_{\alpha}$.

Изложенный выше способ определения мощности, необходимов для покрытия шика суточной изгрузки системы двумя гидростанциями, при минимальных ежегодных издержках эксплуатации суточнорегулирующих мощностей, применим в случае размещения БСР в конце деринационного канала у станционного узли.

Определенные по формулам пиковые мощности носят приближенный характер, поскольку в рясчеты вводятся значения числа часов использования пиковой нагрузки (h_1 , определенные указанным выше приемом. Поэтому, откладывия по оси- ординат графика продолжительности пиковой нагрузки, полученные значения пиковой мощности N_1 и N_2 , во втором приближения можно найти более точное значение h.

Представляя полученное значение h в формуле (9), определяем неличину пиковой мощности. Найденная во втором приближении величина пиковой мощности, как показали расчеты, не превышает $5^{0}/_{\bullet}$ величины таковой, определенной в первом приближении. Исходя из сказанного, можно ограничить расчеты вторым приближением, так как допущенная ощибка невелика. Величина пиковой мощности гидростанций может быть легко найдена с помощью кривых N=f(h), пост-



роенных для разных стоимостей, запасенной в БСР 1 квти электрической энергии (см. рис. 3).

При построении кривых рис. 3. в основу расчетов были положены проектиые данные одной гидроэнергосистемы. Здесь приняты следующие показатели: напряжение линии передачи 220 ка; активные сопротивления $R_{a_1}=20.2$ ом. $R_{a_2}=2.4$ ом. Коэффициент полных издержек $a_1=a_1=0.1$. Удельные капвложения $k_{a_1}=3550$ $\frac{\text{руб}}{\text{квт}}$ и $k_{\kappa_1}=5370$ $\frac{\text{руб}}{\text{квт}}$ Напоры ГЭС $H_1=260$ ж и $H_2=585$ м.

Результаты расчетов по определению точек кривых с помощью уравнений (9) приведены в табл. 1. Таким образом, зиля число

часон использования максимума нагрузки (h), я также стоимость елиницы энергии, запасенной в БСР одной из регулирующих ГЭС (h), по кривым рис. З определяется величина пиковой мощности данной ГЭС. Значение пиковой мощности другой ГЭС. участвующей в покрытии

Таблица 1

№№ n/n	ћ час.	Пиковая яющность <i>N квт</i>					
		1.5 <u>руб.</u>	2 руб. квтч	2,5 руб. житч	3 <u>руб.</u>	3,5 - 100 K8m4	
3	100 200 300 400	925,1 1860 2779 3670	1700 3367 5100 6791	2316 4632 6957 9209	2930 5880 8800	3859 7719 11595 15438	
5 6 7 8	500 1000 1500 1700	4625 9251 35765 48238	8489 17000 65612 88284	11682 23160 89544 120000	14650 29300 113000	19297 38595 149000 201226	
9	2000	72853	136631	181000	153000 230000	303937	

пика нагрузки, определяется как разность между суммарной пиковол нагрузкой и известной пиковой мощностью гидростанции.

В заключении следует отметить, что прямой пропорциональности между объемами БСР и начальными капиталонложениями и издержками эксплуатации по пиковой мощности может не быть, поэтому для более точного решения вопроса при проектировании, необходимо вводить коррективы, определяющиеся местиыми условиями.

Предлагаемый способ расчета пиковой мощности и энергоемкости бассейнов суточного регулирования параплельно работающих гидростанций позволяет учитывать потери пиковой энергии при передаче че от электростанции к потребителю. В отличие от существующих способов, эдесь величина пиковой мощности определяется с условием компенсации потерь мощности в линиях передачи (при определенных параметрах последних), причем емкость БСР обеспечивает покрытие потерь энергии.

Определение пиковой мощности двух параллельно работающих гидростанций проводится по принципу минимуми эксплуатационных издержек в системе, с учетом капиталовложений. Это позволяет наи-выгоднейшим образом распределить ник суточной нагрузки между суточнорегулирующими станциями. учитывая энергоемкость бассейнов суточного регулирования.

Вомо-энерготический институт

АН Армянской ССР

Поступнао 26 VIII 1957

IL T. DILPTURBLY, U. U. DEPPHERIC

ԴԵՐԻՎԱՑԻՈՆ ՀԻԳՐՈԿԱՑԱՆԻ ՕՐՎԱ ԿԱՆՈՆԱՎՈՐՄԱՆ ԶՐԱՎԱԶԱՆԻ ՏԱՐՈՂՈՒԹՅԱՆ ԵՎ ՊԻԿԱՑԻՆ ՀՋՈՐՈՒԹՅԱՆ ՀԱՇՎՄԱՆ ՀԱՐՑԻ ՄԱՍԻՆ

Lidipadinist

անուրակալանների նախապահման փորձր ցույց է տվել, որ էներգետիկ սիստեմների բեռնվածության որվա կանոնավորումը նպատականարմար է կատարիլ այն նիդրոկալանների ժիջոցով, որոնը իրենց կազմում ունեն որվա անոնավորման ջրավաղաններ։

Հնանարար, նրր նոր հիդրոկալան է նախագծվում, անհրաժնչա է ստուգնել կանոնավորությունները։ Այն գնարավորությունները։ Այն գնարավորությունները և հին գնարավորությունները և հին գնարավորությունները և հետարանում հնարավորությունները հայարանավորող հրորությունների հայարայն է հայարակնը այդ հղորությունների հայարավան էներգուհական նֆեկտիվությանը հոկար տուրածությունների հայարական էներգուման դժարի միջոցով։ Այս հոդվածում չարադրված է կանունավորող հղորությունների և էներգիայի հայարական նդանակը, որը հիմերական է առանակում է հորարան է հիմարինություն և առանակու

Աստցված ըստանեներում հաշկի է առծված էլեկտրահագորման դարաներ մեջ որորության և Հանրգիալի կորուստահրդուներ կորուստեները փոխհատուցելու համար հիդրոկալաններում պետք է տեղակակել լրացուցիչ էլեկտրական հղորու կուններ, իսկ կանոնավորող ավազաններում՝ լրացուցիչ ուճակա թվուններ։ Այս րոլորը առաջ է ընթում կապիտալ և չահագործման ծախանրի աճա

ծախանին նվագագույն չափերի պայմանից, այնությամր Հնարավոր է հաչվարկն Էնհրդհակի սիստեմի համար անհրաժեշտ օրվա կանոնավորման հղորությունները Նահարականում ուրված բանաձևերի սարողությունները, ելնելում չահագործման ծախանին նվագագույն չափերի պայմանից,

ЛНТЕРАТУРА

- 1 Болотов В. В. Теоретические основы выбора экономичного режима сложний электроэнергетической системы. Иля. АН СССР, М.—Л., 1911 г.
- 2. І палуков А. Л. Электрические сети и системи. Госанергопадат. М Л., 1954 г.
- 3. Горнштеин В. М. Наивыгоднейтее распределение нагрузок нежду паравлельно работношний элекроставциями. Госзнерговадат, М. Л., 1919 г.
- 1 20 м. С. О выборе параметров деринационных ГЭС, работанивых с су точной перавномерностью. Груды Института экергетики Академии наук Груз. ССР, т. VII, Тбилиси, 1953 г.
- Левнарнани Ю. С. О выборе параметров гидрозлектростаниий, работающих паралдельно и при плации съточной перавномерности. Труды Ин-та эпергетики АН Груд. ССР, т. IX, Тбилиси, 1955 г.
- Блидаров И. В. Гитроэлектрические снаовые установки, часть 1 и ПІ. Энергонамат. М.—Л., 1934 г.
- 7. Мостеов М. А. Введение и системную гиаро мергетику. Изг. АН Груз. ССР. Тбилиси. 1964 г.

ГИДРОЭНЕРГЕТИКА

О. П. ЩЕРБАКОВА

ОПРЕДЕЛЕНИЕ РАСЧЕТНОЙ МОЩНОСТИ НЕЗАРЕГУЛИРОВАННЫХ ДЕРИВАЦИОННЫХ ГИДРОЭЛЕКТРОСТАНЦИЙ, РАБОТАЮЩИХ В КАСКАДЕ

На современном этапе развития электрофикации сельского хозяйства применение электроэнергии в с/х производстве повысило требование как к качеству электроэнергин, так и к надежности и бесперебойности электроснабжения. Изолированные сельские электростанции не способны удовлетворять указанные требования с/х потребителя Поэтому дальнейшее развитие электрификации сельского хозяйства столкнулось с необходимостью строительства более мощных электростанияй с последующим объединением их в местные энергосистемы, вли расчитывать их парадлельную работу с крупной энергосистемой. В связи с этим принимает важное значение изучение и обобщение имеющегося оныта по методике водно-энергетических расчетов, в частности, во изучению основного вопроса-выбора мощности электростанции, работающих в местной энергосистеме. Особо необходимо изучение этого вопроса в районах, бедных запасами минерального топлива, где осиовным видом энергоисточника с/х является энергия малых и средних рек. В этих районах в местиме системы в основном будут входить ғилроэлектростанини, поэтому выбор мошности ГЭС должен основываться как на выявлении влияния гидрологического фактора (внутригодовая изменчивость стока), так и энергоэкономического.

В данной работе сделана попытка применить метол Е. Д. Сафарона [5] для выбора мощности с/х ГЭС, работающих в местной системе, а также провести анализ влияния гидрологического и энономического факторов на выбор мощности.

Вопрос энергоснабжения с/х районов должен исследоваться в трех стадиях: а) стадия исследования, когда все энергоснабжение района базируется на гидроресурсах данного района, б) в балансе энергоснабжения участвуют как гидроэлектростанции, так и тепловые электрические станции, и в) стадия, когда исчерпаны все гидроресурсы района и дальнейшее развитие энергоснабжения производится за счет тепловых электростанций (при наличии в районе местного топлива) и за счет большой энергосистемы.

В настоящей работе выбор мощности ГЭС, работнющих в местной системе, относится к первой стадии исследования.

Предполагается в данном случае, что местная система построена на базе ГЭС на одной реке, а так же рассматривается случай местной системы, состоящей из ГЭС, расположенных на водотоках с различной степенью естественной зарегулированности. Рассматриваются незарегулированные деривационные ГЭС с высокими и средними напорами, для которых при заданной схеме водозаборных сооружений, а так же и случае каскада ГЭС, при заданной разбивке участка реки на ступени, выбор мощности сводится к выбору расчетных расходов. В качестие исходной гидрологической характеристики водотока принята многолетияя кривая продолжительности средне-месячных расходов, приведенная к одному году Q = f(t). В основу расчета принят принцип минимума себестоимости киловаттчася электроэнерсии по системе в целом, т. е. задача заключается в нахождении такого соотношения мощностей ГЭС, при котором по системе в целом получится минимальная себестоимость ками суммарной электроэнерсии.

Условия для минимальной себестоимости кати записываются в следующем виде:

$$S_{\epsilon} = \frac{\sum_{i=1}^{n} p \ K_{i}}{\sum_{i=1}^{n} \ \vartheta_{i}} = min_{s}$$
(1)

где K_t — копиталовложения в гидроэлектростанции.

Э, — выработка соответствующих ГЭС.

р — доля издержек от капиталовложений.

Зависимость K_i от величины мощности в общем случае, как известно, можно записать в виде

$$K_t = K_{ot} + K_t N_t. \tag{2}$$

ғде Л'₄ -- мощность гидроэлектростанции,

Ка - часть капитиловложений, не зависящая от Л,

 K_1^* —стоимость дополнительного киловатта установленной мощности ГЭС.

Величина выработки каждой ГЭС определяется из выражения

$$\vartheta_t = N_t \ t_t + \int_0^\tau N \ dt, \tag{3}$$

где t_t продолжительность использования расчетной мощности.

T — число часов в году.

Для нахождения минимума функции (1) дифференцируем это выражение по мошностям N_1 , N_2 , и приравниваем нулю полученные частему проделения должных систему

стиые производные $\frac{dS}{dN}$. После преобразований, получим систему уравнений:

$$\frac{\sum_{i=1}^{n} p \left(K_{0i} + K_{i}N_{i}\right)}{\sum_{i=1}^{n} g_{i}} = \frac{\frac{\partial}{\partial N_{i}} \left(p K_{i} N_{i}\right)}{\frac{\partial}{\partial N_{i}} \left(\sum_{i=1}^{n} g_{i}\right)}$$

$$\frac{\sum_{i=1}^{n} p \left(K_{0i} + K_{i}'N_{i}\right)}{\sum_{i=1}^{n} g_{i}} = \frac{\frac{\partial}{\partial N_{2}} \left(p K_{i}' N_{i}\right)}{\frac{\partial}{\partial N_{2}} \left(\sum_{i=1}^{n} g_{i}\right)}$$

$$\frac{\sum_{i=1}^{n} p \left(K_{0i} + K_{i} N_{i}\right)}{\sum_{i=1}^{n} g_{i}} = \frac{\frac{\partial}{\partial N_{2}} \left(p K_{i} N_{i}\right)}{\frac{\partial}{\partial N_{n}} \left(\sum_{i=1}^{n} g_{i}\right)}$$

$$\frac{\partial}{\partial N_{n}} \left(\sum_{i=1}^{n} g_{i}\right)$$

$$\frac{\partial}{\partial N_{n}} \left(\sum_{i=1}^{n} g_{i}\right)$$

$$\frac{\partial}{\partial N_{n}} \left(\sum_{i=1}^{n} g_{i}\right)$$

Левая часть системы уравнений (4) представляет из себя исходную функцию, т. е. себестоимость одного квти суммарной электроэнертии, правая же часть есть дифференциальные себестоимости энертии отдельных установок.

Таким образом приходим к выводу, что для получения минимальной себестоимости капи электроэнергии по системе (каскаду) в целом, необходимым условием является равенство между собою дифференциальных себестоимостей по установкам, а также равенство их средней по каскаду себестоимости.

Подставим значение производных $\frac{\partial}{\partial x} \left(\frac{\partial}{\partial x} K_i \right)$ и $\frac{\partial}{\partial x} \left(\frac{\partial}{\partial x} S_i \right)$ из выражений (2) и (3) в систему уравнений (4) и, обозначив левую часть уравнений через λ (λ — то значение и оно единственное из всевозможных S_c , при котором равны между собою дифференциальные себестоимости), получим повую систему уравнений

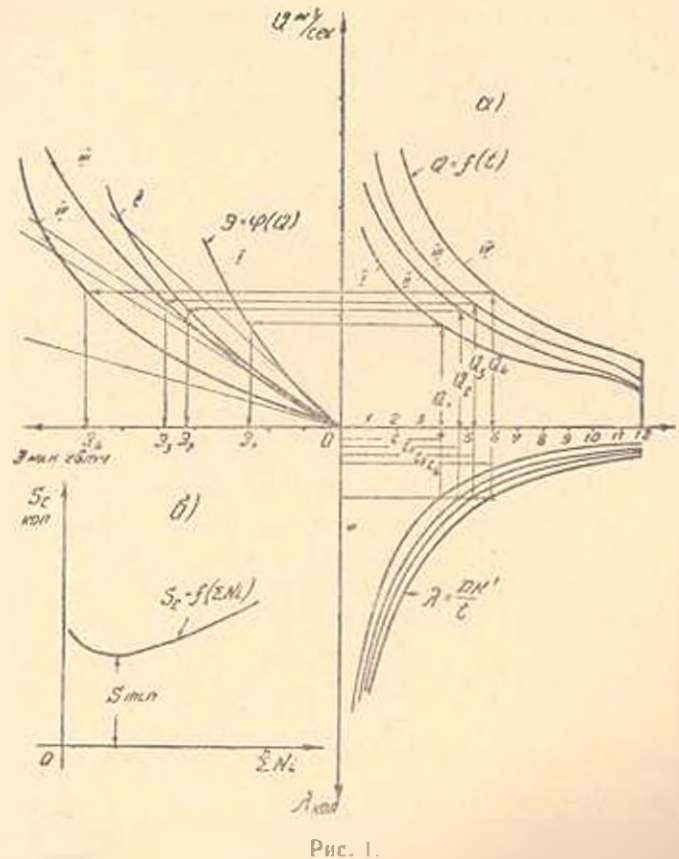
$$\frac{pK_1}{t_1} = \frac{pK_2}{t_2} = \dots = \frac{pK_n}{t_n} = 1. \tag{5}$$

Поскольку стоимости дополнительных кет на ГЭС различны, то и t_i для всех ГЭС каскада будут различны. Отсюда следует, что продолжительности расчетных расходов ГЭС пропорциональны стоимости дополнительного каловатта мощности, при одной и той же кривой продолжительности расходов. Решение системы уравнений (5) относительно t_i дает возможность находить экономичные мощности ГЭС. Значение t_i в уравнениях (5) в сною очередь зависит от величины t_i ,

^{*} Попятие дифференцияльной себестоимости или стоимости ката влектровнергии равносильно значению производной от себестоимости или стоимости по мощности ГЭС при сохранении постоянным заданного напора [1].

поэтому решение системы уравнений (5) возможно только путем подбора значения 1.

Такое решение получается просто и наглядно графознилитическим методом, впервые предложенным Е. Д. Сафаровым [3]. На (рис. 1в) показан графический метод решения системы уравнения (5).



В правом верхнем квадранте построены кривые продолжительности среднесуточных расходов для каждой ГЭС каскода: Q = f(t), в леном верхнем квадранте-интегральные кривые выработки, построеняые в координатих Q и \mathcal{F} при постоянном напоре, τ . е. $\mathcal{F}=f(Q)$, в правом нижнем квадранте—кривые зависимости $\lambda = f(K')$.

Для построения кривых i = f(k') была проведена систематизации экономических показателей существующих ГЭС с/х назначения, находящихся на территории Армянской ССР, с целью установления эмпирических зависимостей между стоимостью отдельных сооружений и величиною расчетного расхода, а также установлена зависимость стоимости всей ГЭС от этой же величины.

Выбор расчетного расхода производится следующим образом: имея кривые продолжительности среднесуточных расходов, строим интегральные кривые 9 = f(Q) в координатах 9 и Q при H = const(11) квадПо полученным двиным составляем таблицу значения I, Q_1 или N_1 , S и pK (см. таблицу 3 примерт расчета для p. Дали) Получин таким образом ряд значений Q_1 , необходимо найти те значения Q_p , при которых в целом по системе (каскаду) получилась бы минимальная себестоимость киловатичаса суммарной эпергии Поэтому, зная N и S по формуле S_1 вычисляем соответстиующие S_2 и строим кривую зависимости S_2 от S_3 т. е. зависимость себестоимости R0 нергии системы от суммарной мощности всех S_4 0 (рис. 16).

Минимуму кривой S=f (20) и будет соответствовоть минимпльная себестоимость квтч внергии по системе — $S_{m,n}$. Понторяя ход расчета лля $\lambda=S_{m,n}$ по кривым $\kappa=f(k')$ окончательно находим проложительности использования расчетных расходон каждой ГЭС, а по криным Q=f(t) расчетные расходы

Предлагаемый метол определения расчетных расходов ГЭС с/х назначения проверен для каскадов с/х ГЭС, расположенных на некоторых реках АрмССР В таблицах 1, 2, 3 приводится пример выбора расчетных мощностей ГЭС, расположенных в каскаде на р. Дали.

Ταδλυμα Ι

1'9C		Пар	заметр.	тетры ГЭС				
KRCKAJA	/ nec.	Q .nr/%	N Kam	Э чан камч	рК мян. рубл			
1	3,9	1,07	1180	5,85	0,38			
- 11	4.4	0.97	714	3,95	0,30			
111	5.0	0.75	331	2,16	0,21			

Описанная выше методика инбора расчетных расходов ГЭС даиз возможность учитывать одновременно для основных фактора, влияющих на мощность ГЭС: гидрологический и экономический, в гак же рассматриваются одновременно, я не изолированно, исе ГЭС, ихо-

I.ac	Параметры ГЭС											
каскада	f wec.	Q water	N квт	Э мин. кашч ј	рК мли р.	S ROII						
1	5,2	0.57	560	3,85	0,254	6,6						
11	1,4	0,97	714	3,95	0,300	7.6						
101	-1,0	1.2	544	2,70	0.276	10.2						
rojo			1919	10,5	0.83	8.7						

тящие в местную систему. Анализ данных таблиц 1 и 2 показал, что используя один и тот же принции экономических расчетов минимума себестоимости киловаттивса электроэнергии, получаются различные показатели ГЭС при изолированном выборе расчетного расхода для каждой ГЭС и при выборе последнего по описанной выше методике При минимальной себестоимости кату по системе, в первом случае равной 7.4 кой., суммарная мощность системы из 25% больше мощности этих же ГЭС, если их мощности выбирать изолированно, не в истеме, имея при этом другое значение себестоимостей для каждой ГЭС, и средняя величива ее больше чем себестоимость в первом случае. Аналогична картина и в отношении остальных показагелей ГЭС см. таблицы 1 и 2 .

Влияние гидрологического и экономического факторов на ныбор мощности ГЭС проанализировано на примере местной системы, состоящей из ГЭС, расположенных на реках с различной степенью естественной зарегулярованности (рпс. 2).

Для числового выражения естественной зарегулированности стока, определяющей степень заполнения или степень неравномерности гидрографа, может служить площадь кривой обеспеченности модульных коэффициентов (k) или илощадь гидрографа до среднего расхода или до k=1.0 [2], r=e.

$$\gamma = \int_{0}^{1,0} \rho dK. \tag{8}$$

где p — обеспеченность в долях от единицы;

k = отношение расхода к среднему.

Коэффициент естественной зарегулированности в как показали исследования [4], характеризует зарегулированность реки для всех интервалов времени (месян, сезон, год, многолетие). Основные степени естественной зарегулированности малых и средних рек Армянской ССР характеризуются значеннями коэффициента р 0,60; в 0.6—0,75 и в >0,75, т. е соответственно: слабая зарегулированность, средняя и сильная Характерными реками на территории АрмССР с точки эрения степени зарегулированности являются: р. Агстев в =0,477, р. Памбак р

0,66 и р. Азат з 0,793. Для расчета нами ваяты указанные реки, а также

Hapa-						3	на	Ч (6	88 H	* 1	11	R o	n e i	1 K a	x					
иетры 3			4				б			8										
ГЭС каскада	1	N	.9	pK	S	1	A	3	рК	s	t	A'	Э	pK	S	1	N	Э	ρK	S
1	10,2	243	2,1	0,176	8,4	7,6	342	2,6	0, 182	7,0	5,2	560	3,85	0,254	6,6	-3,9	1180	5.85	0,38	6,5
11	11.4	169	1,5	0,169	11,3	8,8	221	1,8	0,177	9,8				0,224					0,30	
III	12.0	103	0,9	0,149	16.5	9,8	124	1,05	0,156	14.8	6.6	207	1,5	0,180	12.0	5,0	331	2,16	0,211	10,3
Итого		515	4,5	0,494	10,9		687	5,45	0,515	9,5		1164	6,0	0,658	8,2		2225	11,96	0,891	7,4

Продолжение таблицы 3

Пара-			10			3 н	श भ	е н 12	нс	/ U	K U	n e	й к	ах				16	-	
1 ЭС каскада	1	N	.9	pΚ	S	1	V,	э	pΚ	S	1	V.	Э	ρK	S	1	N	3	pΚ	s
11 11	3,1 3,5 4,0	963	4,55	0.483 0,370 9,276	8,1	2,6 2,9 3,3	1700 1130 685	4,9	0,498 0,414 0,315	3,4	2,5	1250	5,2	0,53 0,443 0,345	8,5			5,3	0,555 0,465 0,371	8,8
Итого		3039	14,05,	1,129	8,0		3515	14,8	1,227	8,3		3846	15,5	13,18	8,5		4055	16,1	1,391	8,6

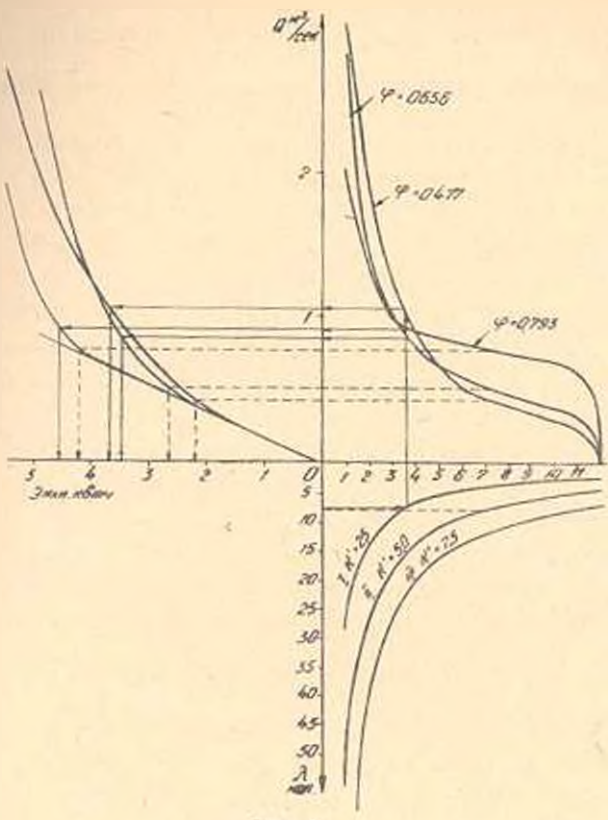
Примечание: Измерения параметров: t — мес., N — кат., θ — ман. кат., ρK — ман. руб., S — коп.

для выявления влияния экономического фактора взяты гри значения K (стоимость дополнительно киловаття мощности) кривая ℓ — (IV-й квадрант, рис. 2). В результате анализа оказалось, что для одной и той же кривой ℓ в зависимости от степени зарегулированности водотока мощность ГЭС меняется в следующем порядке при изменении φ от 0,5 до 0,7 и 0,8 мощность увеличивается соответственно в 2 и 4 раза по отношению к мощности ГЭС на реке с φ = 0,5. Причем степень увеличения мощности уменьшается с увеличением значения k (см. таблицу 4 и рис. 3 пунктирные линив).

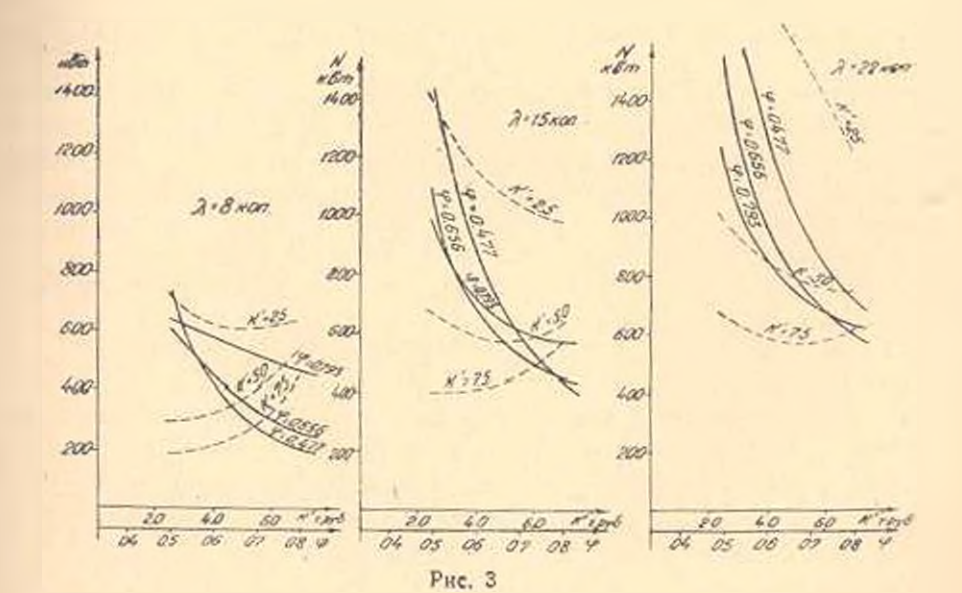
Расчеты принедены для 1. II и III кривых $\lambda = f(K')$, т. е. для грех значений K' (IV квадрант, рис. 2).

Tabauna 4 Значения л в конейках для 1-й криной ГЭС на реках R ġ Значения / и конейках эля П-й конной ГЭС на реках Ŕ Q Aicren $\varphi = 0.5...$ Памбак 9 = 0.7..... $\varphi = 0.8...$ Значение х в конейхах для 111-й криной ГЭС на реках is Arcten $\varphi = 0.5$ $\bar{r} = 0.8$. . A3aT

Такое изменение мощностей наблюдается гакже в области, соответствующей продолжительности расходов от 3 месяцея до 12. В области же малых продолжительностей расходов для 3 видов рек кривые продолжительности мало отличаются между собою по конфигурации, поэтому картина изменения мощностей в зависимости от изменения меняется, а именно происходит быстрое увеличение мощности с увеличением м на реке со слабой зарегулированностью На рис. З (сплотиные линии) приведено изменение мощностей ГЭС для разных р и х при изменении стоимости доволнительного киловатта.



PHC 2.



Как видно и рис. З и из таблицы 1. изменение мощности ГЭС от изменения ℓ для разных ϕ , для каждой из трех кривых $\ell = \frac{pK'}{\ell}$, различию. Вышеописанияя картина изменения мощностей и основном относилась к случаю первой кривой 1) (т. е. K'=2.5 г. р.). С увелячением K' влияние λ ил мощность уменьшается и для Ш-й крипой увеличение ℓ почти не влияет на мощность ГЭС. Так, изпример, для реки со слабой зарегулированностью (ϕ 0,51 в результате изменения K'' и 2 и 3 раза, мощность ГЭС уменьшается соответственно и 2.5 и 1 раза. Для рек со средней зарегулированностью увеличение K'' и том же отношении приводит к уменьшейню мощности ГЭС в 1,8 и 1,4 разд.

Влияни К на мошность ГЭС, расположенной на реке, характеризующейся высокой степенью зарегулированности почти не сказывается при и const.

Таким образом, совместное рассмотрение гидрологических и экомических хирпктеристик ГЭС дает позможность исключить из состави местной системы ГЭС. и охими энерго-экономическими показателями Это будет наглядно видно, если кривая — соответствующая занной ГЭС находител в области больших звачений / и к (кривая III рис 2). Как видно и рис 2 (кривая III) при за коплолучаются мощности только круглогодовой обеспеченности.

Влияние указанных ныше факторов на нараметры ГЭС местной системы в пелом видно из таблиц 5 и 6, в которых праведены параметры ГЭС системы для 1-й и II-й кривых = 0 к. Из таблиц сле-

дует, что в результате изменения стоимости дополнительного киловатти мощности в 2 раза, суммариая мощность всех ГЭС уменьшается на 63°/о. Дальнейшее увеличение К' (III-я кривая) приводит к такому воложению, что получение минимальной себестоимости кати по системе возможно только при мощностях круглогодовой обеспеченности (III-я кривая).

Ta6.sunu

Lac as an a		Значение параметров ГЭС для 1-и крипой										
1 ЭС на реках	/ Mec.	Q .m3/c	N want	Э чан. сатч	рК ман. р	S kantamy						
Arcten Hamban	3.5 3.5 3.5	1,06 0,86 0,92	720 585 625	9.7 1.5 1.55	0,344 0,296 0,312	7.5 7.5 7.5						
Huo			1931	11.73	0,952							

Итак, правильное решение основного вопроса водновнертетических расчетов си гроэлектро-ганций сельскохозяйственного назначения дол-

ГЭС на реказ	Значение параметров ГЭС зая II-й ириной										
13t. III perst	wec.	QA	N Num	Э члп, квтч	<i>pk</i> чан. р.	S коп. нашч					
0.0 0	7.2 7.2 7.2	0,44 0,52 0,72	300 351 531	2.2 2,65 4,2	0,198 0,216 0,275	7,6 7,6 7,6					
litoro	 -		1185	9,05	0,619						

жно основиваться на совместном рассмотрении гидрологических характеристик подотока, звергоэкономических показателей самих ГЭС

Для получения минимальной себестоимости киловатичаса электрозпертии по каскалу (системе) и целом, необходимым условнем ивдвется равенство между собою дифференциальных себестоимостей ки опатичаса на установках, а также равенство их средней по кискаду себестоимости.

Для одинх и тех же экономических показателей ГЭС, и данисимости от степени естественной зарегулированности водотока, мощности и выработки энергии гидроэлектростанций меняются в следующем порядке: при изменении в от 0,5 до 0,7 и 0,8 мощность увеличиваетси соответственно в 2 и 4 раза по отношению в мощности ГЭС с ==0,5.

Возно-эперсетический институт АП Арминской ССР

Hoervinga 26 IV 1958

0. 4. 6950441509.0.

ԿԱԾԿԱԳՈՒՄ ԱՇԽԱՏՈՂ ՉԿԱՆՈՆԱՎՈՐՎՈՂ ԳԵՐԻՎԱՑԻՈՆ ՀԻ ԻՐՈԷԼԵԿՏՐԱԿԱՅԱՆՆԵՐԻ ՀԱՇՎԱՅԻՆ ՀՂՈՐՈՒԹՅԱՆ ՈՐՈՇՈՒՄԸ

գիտ ուրրնույ ունենույ անակայաց աշխատան այնարակ (2)՝ երձարութիւու բոնարվուց է չիմիանակարը ը քարացացաց այնարարարը, ժանութի անանութի այնա ուրրնություն անակայացան աշխատում անանությունների, անանութիւությունների անանությունների անանություններ անանությունների անանությունների անանությունների անանություների ա

Դիտարկված են րարձր և հայտարանը մա մայիկարավորվություն իրա աստիճանի իրա--ար վորհեն Հիտաս վահեր դենակերությանը մայիկարաց ընտրո դեմնակարկողություն ժանման տվյալ սիւնմայի դևպքում հանդում է հաշվային հլյրհրի ընտրու-Թյանը։

արդի հիմ քամ դրվում է մեկ կղտ-ժամ էներգիայի ինքնարժեքի մինիմումի սկղրունքը (բանաձև 1) ամբողջ կասկադի առումով։ Կվտ-ժամի մինիմալ ինքնարժեք ստանալու անհրաժեշտ պալմանը հանդիսանում է կաոկացի առանձին աստիճաններում կվտ-ժամի դիֆերենցիալ ինքնարժեքների հավատարեցումը միմյանց հետ. ինչպես և նրանց հավատարեցումը էներդիայի միջին ինքնարժեքի հետ ամրողջ կասկադի առամով։

Հավասարումների (5) սիստեմի լուծումը հնարավորություն է տալիս դանել հիդրոկալանների տնահսապես ձեռնուս հղորությունները։ Չ նկարում ցույց է տրված այդ լուծման դրաֆիկական հղանակը։

1 և 2 աղլուսակների ավլալների վերլուծութելանը ցույց է ապիս, որ էներդիալի ինընարժերի մինիվումի սկզբունքո կիրառելով ստացվում հետարրեր ցուցանիչներ՝ հիդրոկալանների առանձին և համատեղ աշխատանքի դիտարիվան դեպարում։

Հղորության ընտրաթվան վրա հիդրողոգիական և Լևևրդոտնահական բնությագրերի ազդեցաթիլան վերլուծություն կորի դեպլում և Լևևրդոտնահական բնությագրերի ազդեցաթիլան վերլուծություն կորի դեպլում հիդրոկայանների հաշվային ևլընրի տևողությունը ուղիղ համեմաստվան է հղորության լրացուցիչ կվաւի արժեքին։ Իսկ հիդտոկայանների միևնույն տնտեսական ցուցանիչների դեպքում նրանց հաշվային հղորաթիրներ կախված է գևտի բնական կանոնավորման տատիճանից և փոխվում է հետևլալ կարդով, ևրբ գ-ն փոխվում է հետևլալ կարդով, ևրբ գ-ն

JIHTEPATYPA

- Мосткол М. 1. Введение в системную гипроэнергетику Издат АН Групинской ССР, Тбилиси, 1954.
- Соколовский Д. Л. Гнародотические в водохозяйственные расчеты при проектировании малых ГЭС, 1946.
- 3. Сафаров Е. Д. Определение основных параметров 1 ЭС, работающих и каскаде и энергетической системе. ЕрПИ, 1956.
- Торгомян М. С. Ваняние осреднения месячных расходов на неянчину расчетной выработки электроэнергии незарегулированной ГЭС. Изиестия АН Арминской ССР*, т. VI. № 1, 1953.

СТРОИТЕЛЬНАЯ ТЕХНИКА

К. С. ВАРДАНЯН

К МЕТОДИКЕ ИССЛЕДОВАНИЯ ТРЕНИЯ И ИЗНАШИВАНИЯ ПРИ РЕЗАНИИ КАМНЯ

Существующие методы исследования износостойкости режущих материалов можно разделить на две группы:

- 1) методы исследования износостойкости режущего инструмента непосредственно в процессе резаиня;
- 2) методы исследовання износостойкости режущего инструмента в условиях моделирующих процесс резания.

При анализе работы режущего инструмента надо различать две грущнеся пары:

- а) "обрабатываемый материал—задияя поверхность резца В этом случае износ происходит вследствие истирания задней поверхности резца абразивными частицами;
- 6) "стружка-передняя поверхность резца". В этом случае износ по передней поверхности резца является следствием действия пульсирующей нагрузки, возникающей при стружкообразовании, а следов износа в виде царании не наблюдается. Путъ трения от упругого неремещения стружки по поверхности инчтожен по сравнению с путем трения по задней поверхности резца, поэтому понятно, что и износ от упругого перемещения стружки по передней поверхности по сравнению с изпосом по задней поверхности будет пезначительным. Движение стружки после отделения ее от основной массы камия лишь шаржирует переднюю поверхность резца, не давая сколько-либо ощутительной величины изпоса. С точки зрения стойкости инструмента изнашивание по передней поверхности может служить предметом изучения лишь в том случае, когда имеет место выкращивание режущей кромки. Характер выкращивания существенно зависит от вида приложенной нагрузки. При обработке твердых пород под действием динамических нагрузок происходит выкрашивание режущей кромки, что способствует дальнейшему вырыванию из теля пластинки значительных по величине ченнуйчатого вида кусочков твердого сплава, приводящих в конечном итоге к образованию "лунки".

При резании мятких пород камия главным образом изнашивается задняя поверхность, поэтому износостойкость твердосплавного режущего инструмента можно охарактеризовать величиной площадки износа, образующейся по задней поверхности резца в процессе резания

Зя показатель интенсивности износа принимается:

- 1) износ при постоянном пути трения: $\frac{\Delta}{t_{
 m rp}}$ или $\frac{\varpi}{t_{
 m sp}}$;
- 2) износ при постоянном объеме снятой стружки: $\frac{\Delta}{a \cdot b \cdot t}$ или $\frac{w}{a \cdot b \cdot t}$

гле А пинейный износ:

ти - объемный износ.

Выбор того или вного критерия зависит от конкретной задачи исследования.

При резании же камиен твердых пород главным видом износа является выкращивание по передней поверхности. Стойкость инструмента определяется прочностью режущей кромки против выкращивания и, задачя стойкостных испытаний заключается в том, чтобы определить предельные подачи, глубины и скорости резания, до пускаемые прочностью пластинки твердого сплава.

Устанавливая тот или иной вид ведущего износа, следует выбрать соответствующую методику испытания твердосплавного инструмента, с целью нахождения условий максимальной износостойкости режущего инструмента.

Помимо стойкостных испытаний, весьма нажно значение составляющих работ резания и, в частности, работы грения. без знания которых невозможно подойти к теоретическому решению задачи стойкости режущего инструмента.

Для примерной оценки составляющей работы резания пользуемся данными, полученными по ранее описанной методике [1], т. е. методикой определения сил, действующих на заднюю поверхность при различном ее износе, сохраняя исизменность стружкообразования при постоянстве прочих факторов. Так, для фельзитового туфа (Керплинского месторождения $\sigma_{c,u} = 575~\kappa z/c.u^2$) таигенциальная составляющая усилия резания определяется по формуле:

$$P_2 = 1.97 \ a^3 \cdot b + 1.91 \cdot b \ \Delta_2, \tag{1}$$

где a — толщина среза (м.и);

b — ширина среза (жи);

 Δ_{n} — ширина площадки накоса по задней поверхности и ми:

x = 0.5.

В этой формуле первый член представляет вормальное усилие, действующее на переднюю поверхность резца, а второй член—тангенциальное усилие, действующее на заднюю поверхность.

Так как удельное усилие резания $p=\frac{P_t}{a \cdot b}$ кг/мм² численно рав-

но удельной работе резания $p = \frac{p_{\rm col}}{4 - p_{\rm col}} \kappa \epsilon_{\rm col} M_{\rm col} M_{\rm col}^3$, то при нереходе к удельным значенням формула (1) примет вид:

$$p=rac{1.97}{a^{1-1}}-rac{1.91\,\Delta_2}{a}$$
 21
$$\frac{1.97}{a^{1-1}}-U_{10}\,\Delta_2=U_{10}$$
 в тогда $p=U_{10}$.

HLR

Первый член в правой чисти уравнения (2) хирактеризует удельную работу стружкообразования — $U_{\rm cr}$, второй член характеризует удельную работу трения задней поверхности — $U_{\rm tp}$. Графически эта макономерность показана на рис. 1. Как видно из рис. 1. доля работы грения и общем балансе работы резания возрастает с уменьшением

голцины среза. Это и понятно если учесть, что работа трения при одиняковых путях примерно постояниа, а объем снятой стружки растет пропорционально толщине среза, поэтому доля рабогы резания меняется с износом резца.

Как видно из рис. Ia, с уменьшеннем толщины стружки увеличинается $U_{\rm cr}$ и $U_{\rm tp}$, причем интенсивность роста удельной работы стружкообразования отстает от
нитенсивности роста удельной работы трения. Последняя закономерность имеет более выраженный

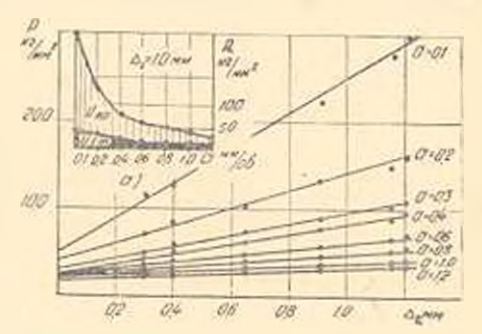


Рис. 1. Зависимость удельного усилия резания от толицины среда пои реаличных ливчениях износа по задней поверхности. а) Наменение составляющей удельной работы реалиня в зависимостя от толицины среда при a = 1.0 мм. v = 60 мм.ши, b = 10 мм.

характер при больших износах по задней поверхности.

Изложенная методика оценки работы резания возможно имеет иедостатки, одиако она двет наглядную картину изменения составляющей работы резания и допускает в первом приближении оценить долю работы отдельных составляющих в общем балансе работы резания.

Интересно также наблюдение за составляющими работы резания в зависимости от скорости резания при различных значениях износа по задней поверхности резца.

На рис. 2 показаны данные, полученные при резании норкского базальта $|\tau_{cs}| = 1200~\kappa z/cm^2$]. Пересечение прямых с осью ординат характеризует усилие стружкообразования, а разность между ординатами различных точек прямых и усилием стружкообразования дает усилие, действующее на задиюю поверхность при различных значениях износа Δ_2 . Перейдя к удельным значениям работы можно оценить составляющие работы резания. Для случая, когла $\Delta_2 = 0.5~mm$, составляющие работы резания будут меняться так, как показано нь

рис. 2а. Как видно из этого рисунка, работа стружкообразования остается постоянной, а работа трения по задней поверхности снижается с увеличением скорости резания, до определенного предела, после чего вновь возрастает

Для оденки абразиваюсти камия и для изучения влияния удельного давления и скорости скольжения на истираемость было сконструировано приспособление (рис. 3) по типу применяемого

Э. И. Фельдитейном [5]. Сущность методики заключается в следую-

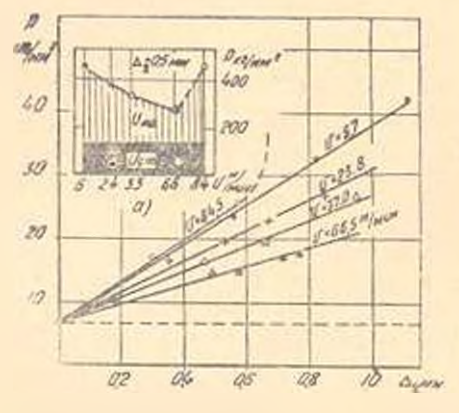


Рис. 2. Заинсимость между удельными силиями и скоростью резания при различных значениях напоса по задией поверхности (b=6 м.м. a=0.052 м.м/об).

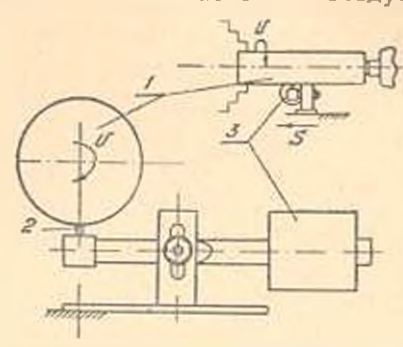


Рис. 3. Схема опытной установки для истирании. 1—камень; 2 - обрацец твердого сплава; 3—груз.

щем. Камень закрепляется в натроне токарного станка и вращается различными скоростями; образец из твердого сплана ($F = 18.8 \text{ мм}^2$) прижимается к камию грузами и двигается относительно камия по внитовой линии. Влияние удельного давления и скорости скольжения на износ твердого сплана при истирании его с базальтовым цилиндром показано на рис. 4 и 5. С увеличением удельного давления износ

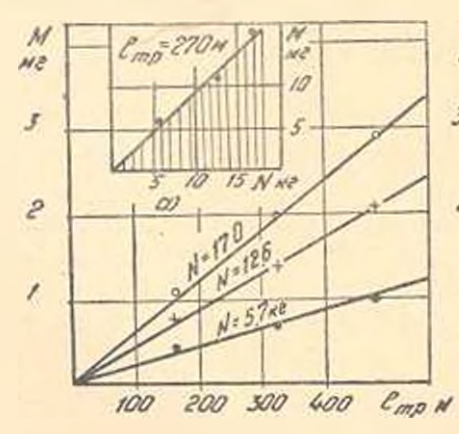


Рис. 4. Зависимость весового импоса от пути трения при различных значениях давления (v=6.5 м, мим а) связь между весовым изпосом и даплением.

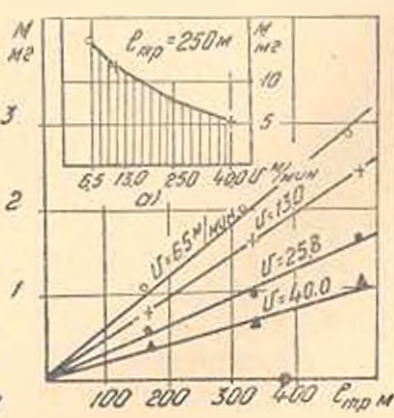


Рис. 5. Зависимость песоного износа от пути трення при различных скоростях. (N = 12,6 кг), а) связь между весоным износом и скоростью скольжения.

твердого сплава увеличивается, с увеличением же скорости скольжения при постоянном удельном давлении—уменьшается интенсивность изнашивания.

Изложенная методика дает нозможность найти стойкость режущего инструмента при различных режимах резания, оценить составляющие работы резания, изучить абразивность обрабатываемого камия, влияние удельного давления скорости скольжения на изнашиваемость твердого сплава.

Институт стройматерналов и сооружений Министерство строительства Армянской ССР

Поступнао 10 V 1958

Կ. Ս. ՎԱՐԳԱՆ**ՑԱՆ**

ՔԱՐԻ ԿՏՐՄԱՆ ԸՆԹԱՑՔՈՒՄ ՇՓՄԱՆ ԵՎ ՄԱՇՎԱԾՈՒԹՅԱՆ ՀԵՏԱՋՈՏՈՒԹՅՈՒՆՆԵՐԻ ՄԵԹՈԳԻԿԱՅԻ ՀԱՐՑԵՐԻ ՇՈՒՐՋԸ

Ամփոփում

տաշրժի չառատաւրը գավակի հրահայուց։ Հատատասութ վահայուրության գարավան գաղարակ հանրությունին։ գահայ ընտունան կարորան իրարվար թունանին է անաչվացության ընտունան արկան ար

Հոդվածում կարող դործիրի մաշադիմացկունության որոշման համար առաջադրվում է հետելայ փորձարկման մեթիոյները.

- 1. Կարող դործիջի նչուխի հղկունակուխյան որոշումը մոդհլացման հղանակով (նկ 3—ում ցույց տրված սխեմայի համաձույն)։
- 2. Կարող դործիքի հղկունակության (կայունության) որոշումը ուղղակի կարման միջոցով։ Տվյալ դեպքում պետք է դանել մաշվածքի մեծությունը հետին նիստի ուղղությամբ կամ կշտալին մաշվածությունը հաստատուն կարման ճանապարհի կամ հաստատուն տաշեղի ծավայի դեպքում, կախված կարման տարրեր ոեժիմներից և մշակվող քարի տեսակից։
- ժուլլատրելի սահմաններից։

Հոդվածում մշակված է մեխոդիկա, որը հնարավորություն է տալիս գտնել կարման աշխատանքի առանձին բաղագրիչների մեծությունները։ Բերված է ֆելզիտային տուֆի և բաղալաի կարելու ընթացքում առաջացած կարման աշխատանքի րաղագրիչների գնահատումը (նկ. 2, 3) տվյալ մեխո-գիկայի հիման վրա։ Բերված մեխոդիկան Թուլլ է տալիս գտնելու կտրող լիկայի հիման վրա։ Բերված մեխոդիկան Թուլլ է տալիս գտնելու կտրող լիկայի հիման վրա։ գան արագությունը ունից։

գան արագությունը հայաստան կունը կախված անսակարար ու ամից և կտրթգան արագությունը հայաստան կունը կախված անսակարար ու ամից և կտրթ-

ЛИТЕРАТУРА

- 1. Вароанян К. С. Некоторые попросы динамики ре ания намия. "Илиестия АН Армянской ССР", т. X. № 5, 1957.
- 2. Зорев Н. И. Вопросы механики процесса резания металлов. МашГИЗ, 1956.
- Касьян М. В. К нопросу о резании естественных камией "Строительство из естественных каменных материалов". Сб. статей ВНИТО строителей. М., 1951.
- 4. Касьян М. В., Тер-Азарьев И. А., Аколов А. А. Характеристика износа режущего инструмента при обработке туфа. базальта и гранита . Известия АН Армянской ССР*, т. 111. № 4, 1950.
- Фельдштейн Э. И. Истирающая способность металлоп. .Вестник машиностроения*, № 11, 1952.

Տեխնիկական դիտութ «երիա

XI. Nº 5, 1958

Серня техническия илук

СТРОНТЕЛЬНЫЕ МАТЕРИАЛЫ

Ф. Г. АРУТЮНЯН

ИССЛЕДОВАНИЕ ДАВЛЕНИЯ ЗАЩЕМЛЕННОГО ВОЗДУХА В ПОРИСТЫХ КАМЕННЫХ МАТЕРИАЛАХ И НОВЫЙ МЕТОД ЕГО ОПРЕДЕЛЕНИЯ

1. Вводная часть

При соприкосновении с водой пористых каменных и других магериалов, благодаря капиллярным силам, вода всасывается в их поры и капилляры и вытесияет из них находящийся там воздух. Явление это носит длительный характер и, в основном, зависит от эффективного диаметра пор и капилляров пористого тела. Немедленному и полному насыщению пористого тела водой в данном случае препятствует изолированияя в нем от внешней среды защемленная часть воздуха.

Воздух, будучи гидрофобным и мало растворимым в воде веществом, в замкнутом состоянии, в пористых естественных и искусственных каменных материалах, как при сбыкновенной, так и полиженных температурах, препятствует свободной миграции влаги в них. Учение о защемленном воздухе фактически только создается. В настоящее время имеются только отдельные, отрывочные высказывания о его влиянии на термодиффузию в глине и торфе [1], на процессы сушки капиллярно-пористых тел [2,3], на влагосодержвние груптов, на качество обработки керамических масс [7] и т. д.

Будучи молодой областью науки, учение о защемленном воздуже только намечается и поэтому особенно нуждается в углублении, коренной разработке и теоретическом обобщении.

В этом направлении следует отметить прежде всего работу М. З. Симонова [4, 5], который, отрицая гипотезу об открытых и закрытых порях в каменных и бетонных материалах, прямыми опитами доказал, что неполное заполнение водой капилляров в указанных материалах объясняется образованием в них защемленного воздуха, и что давление защемленного воздуха не равно атмосферному. В своих экспериментах М. З. Симонов пользовался колбами В. В. Некрасова, примененными в свое время для определения контракции при твердении гидравлических вяжущих [6].

Определение давления защемленного воздуха в пористом заполнителе с помощью колб В. В. Некрасова производилось следующим образом. Бралась конусной формы стеклянная колба, емкостью 200—

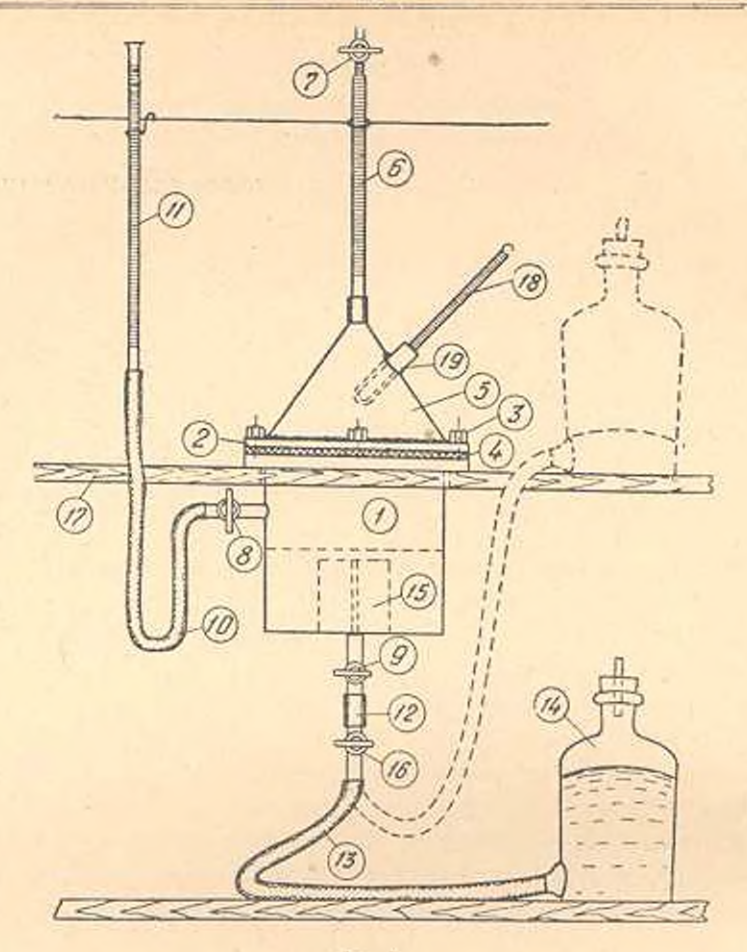


Рис. 1.

250 мл, туда закладывались куски пористого заполнителя (естественного камия), затем колба заливалась водой и герметически закрывалась резиновой пробкой. Для отсчета изменений объема системы в резиновую пробку вставлялась градуированная, стеклянная бюретка, которая заполнялась волой до определенной метки. Находящийся в колбе нижний конец бюретки на некоторую длину выходил из резиновой трубки и почти приходил в соприкосновение с камием. Таким образом, выходящий из системы воздух не имел возможности проходить через бюретку и накапливался в верхней части колбы под бюреткой. Градуированная часть бюретки позволяла с точностью до 0,1 мл измерять уменьшение объема системы.

Эксперименты М. З. Симонова показали, что защемленный воздух в замкнутом состоянии находится под некоторым избыточным давлением. Однако, колба В. В. Некрасова не позволяла проследить за процессом с самого его начала, и не давала возможность в отдельности определить ни количество вытесняемого из намокаемого пористого камня воздуха, ни впитанной в него воды. Каргина ухудшалась

еще и тем, что колба закрывалась носле того, как пористый материал уже был намочен находящейся в ней водой, и вытесненная в начале эксперимента основная часть воздуха была утеряна. Указанное побудило нас предложить принкипиально иной способ определения защемленного воздуха в гидрофильных пористых телах и для данной цели разработать и сконструировать новый прибор, в котором указанные недостатки колб В. В. Некрасова были устранены

2. Описание нового прибора

В приборе нашей конструкции (см. рис. 1) определение давления защемленного воздуха прсизводится следующим образом: развинчиванием болтов 3 с прибора снимается крышка 5, и высушенный и взвешанный образец 15 ставится на дно эмалированного сосуда 1. Образец 15 с помощью гонкой шелковой, или другой прочной нитки. подвязывается к крану 9, для чего нитка пропускается через отверстие этого крана и снаружи наматывается на него. Затем, на кран 9 надевается резвиовая трубка 12, открывается кран 16 и поднятием склянки 14, сосуд 1 до уровня полного нокрытия образца 15 зяполияется ртутью, после чего кран 16 закрывается и прибор вновь собирается. После того, как прибор собран, вся система, включая стеклянные бюретки 6 и 11 полностью заполняется водой. Для заполнения бюретки 6 предварительно открывается кран 7 и бюретка 11 подымается вверх до тех пор, пока вода не начнет переливаться через кран 7, после чего кран 7 закрывается. Температура системы измеряется стеклянным термометром 18, вставленным в приваренное к крышке 5, метадлическое гнездо 19. Эксперимент на собранной установке иногда длится от нескольких дней до нескольких недель, поэтому герметичность соединений ее отдельных узлов имеет весьма важное значение. Это на установке достигается резиновыми соединениями и резиновой прокладкой 4, зажимаемой болтами 3, между флянцами крышки 5 и сосуда 1. Герметичность на собранной установке проверяется длительным наблюдением за уровнем воды в бюретках 11 и 6. Убедившись в герметичности собранной установки, в журнале записей отмечается температура системы и уровень воды в бюретке 11. эксперимент начинается, поворачинается краи 9 и запускается хронометр.

Пробковый кран 9. через который пропущена поддерживающая под ртутью образец камня интка, играет роль ножниц, так как поворотом крана 9 перерезается нитка, поддерживающая образец под ртутью и, вследствие разности удельных весов камень мгновенно всплывает на поверхность ртути и оказывается в водной среде. Поворотом крана 9 одновремено прерынается связь системы с баллоном ртути, в дальнейшие изменения объема системы отражаются только на показаниях бюретки 11, которая с внешней атмосферой сообщается через открытый конец.

Указанный прибор предотвращает потери воздуха из системы, позволяя с первых же секупд намокация камня одновременно определить количество впитанной в него воды и вытесненного из него воздуха, что достигается записью показаний двух бюреток—воды 11 и воздуха 6, па что требуется 10—12 секунд времени.

Во избежание искажений показаний бюреток 11 и 6, уровень воды в них всегда должен поддерживаться на одинаковой высоте Вытесненный из камия воздух, благодаря конуспобразной форме крышки 5, целиком собирается в бюретке 6, вследствие чего уровень воды в ней постепенно опускается. Если бы вода входила в камень в объеме равном объему вытеспециого из камия воздуха, то в сообщающейся бюретке 11 уровень воды должен был оставаться на прежней высоте. Однако, как показал эксперимент, уровень воды в бюретке 11 гакже начинает опускаться, котя выделившийся воздух целиком собирается только в бюретке 6. Это означает, что из пористой породы воздух вытесняется и меньшем объеме, чем всясывающаяся туда вода, т. е отношение объема воды, вошедшей в камень к объему вытесненного из камия воздуха больше единицы $\left(\frac{B}{T}>1\right)$. Из экспериментов вытекает, что защемленный воздух в образце сжимается, что приводит к появлению избыточного давления.

3. Изучение защемленного воздуха в каменных материалах при помощи нового аппарата

Для определения давления защемленного воздуха нами были сняты характеристики фельзитовых туфов Калачинского. Туманянского и Цатерского месторождений и, для сравнения, вулканического гуфа Аринджского месторождения, артикского туфа и литоидной пемзы. Всего исследовано шесть разновидностей камией. Испытанные образцы имели правильную геометрическую форму цилиндров (d=50, h=50 мм). Образцы перед испытанием были тщательно очищены от пыли, промыты в струе проточной воды и все вместе одновременно высушены в сущильном шкафу при температуре 110±5 С. Для создания идентичных условий испытаний, все шесть разновидностей камией испытывались одновременно, для чего была собрана батарея, состоящая из шести апааратов. Температура помещения, где производились испытания в течение всего эксперимента, поддерживалась в пределах 24,5±0,5°С, чему способствовали умеренный летний климат и расположение лаборатории в подвальном номещении.

Результаты изучения защемленного воздуха указанных образцов приводятся в таблице 1. В ней для каждой разновидности камня приводятся по дна значения. На первой строчке показаны данные соответствующие первой равновесной точке, а на второй — данные конечной равновесной гочки, когда образец извлекался из аппарата. Как видно из габляцы 1, эксперимент для отдельных разповидностей

Наименование породы	Пористость, 0/6	Объем пор образиа. жл (П)	Продолжительность намокания, дли	Объем всосаниейся по бразен воды. мл (W)	Объем вытесниного на образца коллука при образца коллука при (В) жл	Заноднение пор образ- ца нодой, °/о	Объем ост в образио при обыкно- ценном давлении П—В	BOSEVER,	Дапление защемленного возду- ха, ата	камней во; мени (от	е этих же дой по врепределено ваннем) заполнение пор водой.
1	2	3	4	5	6	7	8	9	10	11	12
Цатерский фельзитовый туф	25,5	31,15	1 13	28.5 28.8	22,0 22,1	91,5 92,5	9,18 9,05	2,65 2,35	3,45 3,84	43	96,8
Гуманянский: фельзитовый туф	22,1	28,71	7	26,6	19,5	92,6	9,2	2,11	4,35	43	95.4
Калачинский фельзитовый туф	32,0	30,62	15 19	25,3 26,69	20.4 22.6	82,5 27,0	10,22 8,02	5,32 3,93	1.92 2.04	164	100
Аринджский вулконический туф	30,0	28.70	U.83 19	20,5 22,94	16.1 17.3	71,5 80,0	12.6 11.4	8,2 5,76	1,54 1,98	328	97,2
Артикский туф	37,3	35,05	12 16	23.4 23.7	16,5 17,1	66,8 67,7	18,55 17,95	11,65 11,35	1,59 1,58	360	98,5
Лятондыая пемза	41,8	38,74	2,62 36	16,84 19,02	3,5 4,88	43.4 49.2	35,24 33,86	21.9 19.72	1.6	36 0	70

камней длился от 7 до 36 дней, после чего образцы были выпуты из приборов и взвешены. Взвешивание производилось с целью проверки точности показаний бюреток, причем всегда получалось точное совпадение данных количества впитавшейся в камень воды, измеряемого по бюреткам и получаемого взвешиванием. Извлеченные из аппаратон камни, после контрольного взвешивания были положены в воду для определения дальнейшего хода водонасыщения во времени, что производилось общепринятым методом (взвешиванием).

Подсчет давления зашемленного воздуха по данным таблицы 1 производим следующим образом. После вытеснения части воздуха приведенной к обыкновенному давлению (столб. 8) будет равен разности общего объема пор камия I7 (ст. 3), и объема ушедшей из светемы части воздуха B (ст. 6). В сжатом, защемленном состояния объем его будет равен разности общего объема пор II и объема впитавшейся в камень воды W (ст. 5). По закону Бойля-Мариота в изотермическом процессе уменьшение объема приводит к увеличения его давления и, наоборот. Для получения давления защемленного воздуха D (ст. 10), необходимо получить отношение, показывающее во сколько раз объем изолированной части воздуха II—B уменьшается в результате сжатия (II—W)

$$D = \frac{\Pi - B}{\Pi - W}, \text{ and}. \tag{1}$$

Это отношение выражает значение абсолютного давления защемленного воздуха (ama). При желании выразить его в виде избыточного давления (amu), необходимо из значений абсолютного давления (ama) отнять значение барометрического давления. Результаты подсчета значения давления защемленного воздуха, полученные указанным выше способом, приводятся в столбце 10 (табл. 1).

Эти данные показывают, что значение давления защемленного воздуха у фельзитовых туфов вочти вдвое больше, чем у остальных разновидностей изученных камней и колеблется в пределах от 2.04 до 4,35 ата.

4. Гипотеза о продолжительности существования защемленного воздуха в капиллярно-пористых материалах

Из таблицы 1 следует, что у фельзитовых туфов значения давлений защемленного воздуха для более короткого периода водонасыщения выше, чем для других пород при более продолжительном водонасыщении. Затем, заполнение пор образцов при повышениом значении давления защемленного воздуха выше, чем при пониженном давлении. Иначе говоря, высокому значению давления защемленного воздуха соответствует быстрое удаление из системы газовой фазы, и от носительно быстрое насыщение пород водой. Из столбца 11 таблицы 1 видно, что пористые каменные породы при продолжительном

хранении под водой в конечном итоге полностью инсышаются нодой. Причем фельзитовые туфы с высоким значением избыточного дапления защемленного воздуха полностью насыщаются за 2-5 месяцен, в другие породы с относительно низким избыточным давлением-за более продолжительные сроки. Так, аринджский туф за 12 месяцев, артикский туф за 13 месяцев, а литоидная немза за еще более продолжительный срок. Из сказанного вытекает, что наличие в камиях хотя бы небольшого избыточного давления защемленного воздуха в конечном итоге приводит к полному их водонасыщению во времени. Процесс образования избыточного давления и механизм удаления воздуха из системы можно осветить следующим образом. При намокании гидрофильных пористых каменных материалов, благодаря отрицательному каниллярному давлению, водя, всасываясь в их поры и капилляры. начинает вытеснять из них воздух. После свободного ухода части воздуха, другая часть изолируется в камие. Если капиллярные силы велики и дальше могут отжать воду в камень, то в изолированной части воздуха может возникнуть избыточное давление, воздух защемится. Избыточное давление защемленного воздуха в дальнейшем приведет к дополнительной растворимости газов и скелете камия (закон Генри), к появлению градиента концентрации и диффузии (законы Фика). Иначе говоря, при наличии избыточного давления, защемленный воздух, растворяясь и диффундируя через заполненные водой поры в капилляры, постепенно, но целиком уйдет из камия, уступив свое место воде. Камень во времени полностью насытится водой, медленно, но окончательно. Следует особенно подчеркнуть, что повышенное избыточное давление защемленного воздуха приводит к быстрому удалению из системы газовой фазы, что обусловлено повышенной растворимостью газов, высоким градиентом концентрации и ускоренной диффузией. Это основной вывод нашей работы и его мы выдвигаем в качестве гипотезы. Это позволяет нам сделать и другие выноды, а именно:

- а) повышенное данление защемленного воздуха может возникнуть у тел с относительно меньшим эффективным диаметром пор и капилляров, г. е. у тел мелкопористых, которые насытится быстрее крупнопористых;
- б) растворимость кислорода и воде больше растворимости азота, поэтому защемленный воздух в скелете камия со временем должен обогащаться азотом. Анализ газов в этом случае может служить мерилом степени сжатия газов в камие и размеров пор и капиллярся последнего. Наблюдения показали, что защемленный воздух из камия уходит вначале крупными, а затем мелкими пузырыками не равномерно, а рывками, что должно соответствовать отдельным фракциям пор и капилляров камия. Последние рассуждения показывах г, что болсе глубокое изучение защемленного воздуха позволит вывести также и закономерности структурного характера камией, увязав их со значенями избыточного давления.

Ныне господствует представление о вечном сосуществовании жидкой и газовой фаз и каниллярно-пористых гидрофильных телах. С этой целью предложены коэффициенты насыщения, морозостойкости (в керамике), понятие о "открытых" и "закрытых" порах и т. д. Не трудно убедиться, что с точки зрения нашего подхода, все указанное для изученных нами камией является необоснованным. Сказанное подтверждается и тем, что при вакуумпровании все капилляры каменных материалов полностью насыщаются водой.

Причина улучшения качества вылеживающейся керамической пластичной массы пока не объяснена [7]. Она очень просто объяснима выдвинутой нами гипотезой. В увлажненной керамической пластичной массе воздух находится в защемленном состоянии под избыточным давлением и по своему химическому составу несколько отличен от обыкновенного. При продолжительном вылеживании массы, защемленный воздух постеценно уходит из системы диффузией, а уход гидрофобного воздуха улучшает качество массы.

С точки зрения выданнутой нами гипотезы, вакуумирование мелконористой керамической массы и свежеотформонанного бетона должно повышать степень чх водонасыщения. Иначе говоря, вода еще глубже должна вгоняться в поры и капилляры камия, а воздух должен уходить оттуда путем диффузии. Но, с другой стороны, вода может быть и отжата из крупных пор и капилляров, если капиллярное давление окажется меньше силы, создаваемой разрежением. Низкая морозостойкость мелкопористых тел, по срявнению с крупнонористыми, также должия быть объяснена с точки зрения влияния защемленного воздуха, ибо ч мелконористых телах давление защемленного ноздуха относительно высокое и он быстро удаляется из системы и поэтому морозостойкость камней уменьшается. Временное или окончагельное синжение водопоглощения и повышение морозостойкости гидрофобированного бетона, строительного кирпича [8] и др. материалов, также можно объяснить с точки зрения этой гипотезы. Если воздух в пористом камие заменить аммиаком или другим, более растворимым в воде газом, чем воздух, что можно осуществить непродолжительным продуванием камия аммиаком, то эффект защемления в процесее водонасыщения можно свести к нулю. В заключение надо подчеркнеобходимость дальнейшего глубокого исследования состояния и поведения защемленного воздуха в пористых материалах

Институт стройматериалов и сооружений Министерства строительства Армянской ССР

Поступило 20 X 1957

Ֆ. Գ ՀԱՐՈՒԹՅՈՒՆՈԱՆ

ԾԱԿՈՏԿԵՆ ՔԱՐԱՆՅՈՒԹԵՐՈՒՄ ՄԵԿՈՒՍԱՑՎԱԾ ՕԴԻ ՃՆՇՄԱՆ ՄՍՈՒՄԵԱՍԻՐՈՒԹՅՈՒՆԸ ԵՎ ԱՅԴ ՃՆՇՄԱՆ ՄԵԾՈՒԹՅՈՒՆԸ ՈՐՈՇԵԼՈՒ ՆՈՐ ՄԵԹՈԴԸ

Ամփոփում

Մակուոկին շինաբարական քարերը խիջելիս նրանց մեջ եղած օգի մի ժասը անընդհաս ներխափանցող ջրով արտաքին միջավայրից մեկուսանում և սկզբում քարից հեռանալ չի կարողանում։ Քարի ներսում այդ օգի մեջ առաջ է գալիս հավելյալ ճնչում։

Մեր կողմից հայանադորձված և պատրաստված է մի սարք, որը հնարավորություն է տալիս որոշիլ ալդ մեկուսացված օդի րացարձակ ճնշումը. -րից հանելով բարոմեարիկ ճնշումը ստանում ենք հավելյալ ճնշումը։

իտը տարրի օդնությամբ մի բանի շինանարական քարևրի համար որոշված են բացարձակ ճնչման հետևլալ արժևքները՝

Man Jan Line	ֆելգիտալին	unc\$h	Southap	4,35 am
Malphatt		2		3,81 2
Luquezaile		31		2,01 a
Halitoph anda	րական			1,98 a
U.pfd hy mark	h		al .	1,58 a
Լիտոիդալին <u>։</u>	<i>պես</i> դալի	a	В	1,60 .

Փորձերը ցույց տվեցին, որ թարձր հավելյալ ճնշմանը համապատասխանում է օդի համեմատարար արադ հեռացում և թարերի օրով լրիվ և բաղ հագեցում։ Ֆելդիաային տուֆերը ջրով լրիվ հագենում են 2 – դ ամսում, Առինջի տաֆը՝ 12 ամսում, Արթիկի տուֆը՝ 13 ամսում, իսկ լիառիդային պեմդան՝ ավելի ուշ:

Ստացված արդլուն ըննրը հնարավորություն ավնցին առաջարկել մի նոր հիպոթնել, ըստ որի թարի ննրսում օդի հավելյալ ճնչման առկալության դնպրում, միժանում է նրա լուծնլիությունը ճնչված օդի և ջրի կոնտակաում, առաջանում է կոնցենաբացիաննրի տարբնրություն և օդը, լուծված վիճակում Լրով լցված մադական խողովակներով գիֆուդիալով քարի ննրսից հեռանում է, դիջելով իր տեղը ջրին։

Աստարիված հիպոխները բացատրում է անխնիկալի մի շարք չլուծված հարցերը, ինչպես օրինակ՝ մանրածակուռկեն ընական և արհեստական քարերի ցածր ցրատկակուռներ, կնրամիկական խաց մաստալի որակի րարձրացումը հրվարատն պահնիս, օրի միգրացիալի և լոկալ կուսակման ու գագալին ֆաղի փոխհարարնում վաճ, ինչպես նաև հիղրոֆորիղացման հարցերը։ Հարին ֆաղի փոխհարարնում մեկուսացված և հավելյալ ճնշման ուսել գտնվող դր արդեն ֆաղի և հար հանձան ուսել գտնվող և հավելալ ճնշման ուսել գտնվող և հայն և հար հար հար հար հար հար հար հար և հար

ЛИТЕРАТУРА

- 1. Наседния Н. А., Покровский Г. Н. О термодиффузии в глине и горфе. Жури Технической филики, т. 9. 1515. 1939.
- 2. Ликов А. В. Теории сушки. М.—Л., 1950.
- 3. Лыков А. В. Явления переноса в капиллярно-пористых телах. ГИТТЛ, М., 1954.
- Симонов М. З. Самовакуумирование детима бетонов "Иднестия АН АрмССР» т. VII. № 5, 67—69, Ереван. 1984.
- 5. Симонов М. З. Бетон и железобетон на пористых мнолнителих. М., 1956.
- 6 Некрасов В. В. Изменение объема системы при твердении гнарамянческих пимуших. "Илисстик АН СССР», № 6, 1945.
- Бутт Ю. М., Дуберов Г. Н., Матегев М. А. Общая технодогия сидикатов. М., 1950.
- 8 Жигалкович В. Ф., ПІталь В. В., Изменение подопоглошения и моромистийности строительного кирпича при нанесении на него кремисоргацических соединений Сборани паучных работ, пып V. НИИ стройматериалов МПСМ Минеи 1957

«եկանիկական գիտութ. «երիա XI, № 5, 1938

Серия технических наук

ГРУНТОВЕДЕНИЕ

ю. Л. АВЕТИКЯН

О МЕТОДИКЕ ДЕЗАЭРИРОВАНИЯ ПОР ГАЗОНАСЫЩЕННЫХ ПЕСКОВ ПРИ ЛАБОРАТОРНОМ ИЗУЧЕНИИ ИХ ФИЛЬТРАЦИОННЫХ СВОЙСТВ

Определение коэффициента фильтрации производится различными методами. В настоящее время наибольшее распространение получил лабораторный метод, основанный на непосредственных наблюдениях за фильтрацией воды через исследуемый грунт в фильтрационных приборах различной конструкции. При таком определении коэффициента фильтрации, результаты опыта в большей мере зависят от степени влияния на процесс фильтрации чрезвычайного разнообразия одновременно действующих побочных факторов, а именно: химсостава и загрязненности воды, гидродинамического давления воды, газонасыщенности грунта и воды, гемпературы грунта и воды, сил поверхностного натяжения, конструктивных недостатков фильтрационных приборов, опибок измерений и др., которые не голько искажают процесс фильтрации в целом, но и, что особенно важно, искажают действительную величину определяемого во времени коэффициента фильтрации.

При хорошей организации лабораторных работ и наличии соответствующего оборудования и измерительной анпаратуры, влияние на процесс фильтрации большинства из перечисленных выше факторов может быть полностью устранено или сведено к минимуму. Олнако, устранение влияния на процесс фильтрации газонасыщенности грунта связано, как показывает подробный анализ вопроса, с определенными трудностями, преодоление которых не всегда представляется возможным

При лабораторном изучении фильтрации вопрос о газонасыщейпости грунтового образца гесно связан с метоликой загрузки фильтрационного прибора, так как при этом не удается добиться такого положения, чтобы все грунтовые поры были заполнены водой, почему
и часть из них оказывается заполненной воздухом. В дальнейшем,
при фильтрации воды часть воздуха уходит из пор, в остальная часть
остается в них в виде так называемого "защемленного" воздуха. Присутствие в грунтовых порах "защемленного" воздуха уменьшает площадь сечения поровых каналов. В зависимости от давления и температуры окружающей среды пузырьки такого воздуха сжимаются или
расширяются, а процесс фильтрации оказывается неустойчивым и пуль-

сирующим во времени. "Защемленный воздух влияет также на величину коэффициента фильтрации и, в зависимости от количества грунтового воздуха, определяемый коэффициент фильтрации может уменьшиться на 30—50% и более, против случая полного насыщения поргрунтовой водой. Наконец, грунтовый воздух является причиной того, что водопроницаемость и начале опыта падает, а в конце увеличивается, хотя и общий напор на фильтрационной установке остается постоянным. Следует указать, что газонасыщение грунтовых пор может происходить не только и процессе загрузки фильтрационного прибора. Источником газонасыщения может служить и фильтрующая вода, если в ней содержится воздух или другие газы, которые, при некоторых условиях, выделяются из волы и "завляют" грунтовые поры

В современной лабораторной практике уменьшение газовыделения из фильтрующей воды обеспечивается, и основном, следующими методами:

- 1. предварительной дегазацией воды или применением в качестве фильтрата дистиллированной воды;
- 2. созданием условий, когда в процессе фильтрации газовыделешие из воды становится невозможным.

При втором методе, согласно Н. М. Герсеванову [2], необходимо выполнить следующие условия:

- а) поддерживать температуру фильтрующей воды выше или равной температуре исследуемого грунтового образца;
 - б) поступающую в групт воду нагнетать;
- в) движение воды в грунте должно по мере продвижения характеризоваться повышением давления в каждой ее частице.

Выполнение этих трех условий, устраняющих влияние газонасы щенности воды на результаты опыта приводит, согласно [2], к схеме фильтрационного прибора, показанного на рис. 1.

Однако, если влияние на фильтрацию газонасыщенности только воды может быть в той или иной степени уменьшено методами, указанными выше, то в лабораторной пряктике все еще не имеется сколько-инбудь удовлетворительного метода, позволяющего полностью

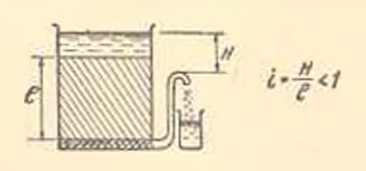


Рис. 1.

удалить из грунтовых пор защемленный в них воздух. В литературе имеются рекомендации, которые по мнению их авторов должны устранить илияние газонасыщенности грунта на процесс фильтрации (загрузка грунта в фильтраци. онный прибор с одновременным насыще-

нием грунтовых пор водою, вакуумирование грунта, подача воды по направлению снизу-вверх, применение теплой воды и др.). Однако, соответствующий анализ приведенных в литературе данных, а также наши опыты по фильтрации показали, что все эти рекомендации неполноценны и не обеспечивают полного удаления защемленного в грунтовых порах воздуха не только в процессе загрузки фильтраци-

онного прибора, но и даже при дальнейшей, довольно продолжительной во времени 10—20 дней) фильтрации воды через грунт

Нами разработана принципиальная схема дегазационной установки, которая, в отличие от существующих схем. в процессе фильтрации одновременно обеспечивает:

- 1. условия, при которых совершенно исключается какое бы то ни было газовыделение из воды;
- 2. сравнительно быстрое удяление из груптовых пор защемленного воздуха.

При выработке излагаемой ниже методики, нами были проведены многочисленные опыты по фильтрации через различные нески, причем в качестве фильтрата применялись: вакуумированная с помощью вакуум-насоса водопроводная вода; нагретая до постоянной температуры 30°С, водопроводная вода; дистиллированная вода; дистиллированная вода; дистиллированная вода; дистиллированная вода, нагретая до 30°С, причем осущестиллося кругооборот определенного объема воды с помощью автоматического устройства.

Во всех случаях опыты проводились по схеме рис. 1 с той лишь разницей, что уровень воды нижнего бъефа поддерживался на 2 метря выше отметки нижней крышки фильтрационного прибора.

Пески различных фракций загружались в стеклянную трубку (d-40) мм. I=900 мм), снабженную по высоте с обеих сторон шестью рядами пьезометрических отростков. В процессе фильтрации, в поры исследуемого группа искусственно вводилось различное количество воздуха. Через стекло трубки можно было следить за скоплением или уменьшением воздуха в грунтовых порах вблизи стенок трубки. Во время опытов велись наблюдения по всем пьезометрам за ходом изменений дявлений в грунте. По формуле Дарси вычислялись соогветствующие коэффициенты фильтрации (при постоянном напоре на установке) и строились зависимости K=K (t).

Не имея возможности в данной статье подробно рассмотреть результаты экспериментов, полученных в случае применения указанных выше методов дегазации водопроводной воды, отметим лишь го важное обстоятельство, что во исех случаях определяемые значения коэффициента фильтрации были получены изменяющимися во времени, а в некоторых случаях и резко разнящимися друг от друга, хотя и напор на установке оставался постоянным.

Ниже рассматривается предлагаемая принципиальная схема дегазационной установки. Известно, что грастверимость газов в воде увеличивается с понижением температуры и повышением давления. Согласно закона Генри-Дальтона имеем

$$g = \alpha \cdot \frac{P}{P_{\alpha}}$$
.

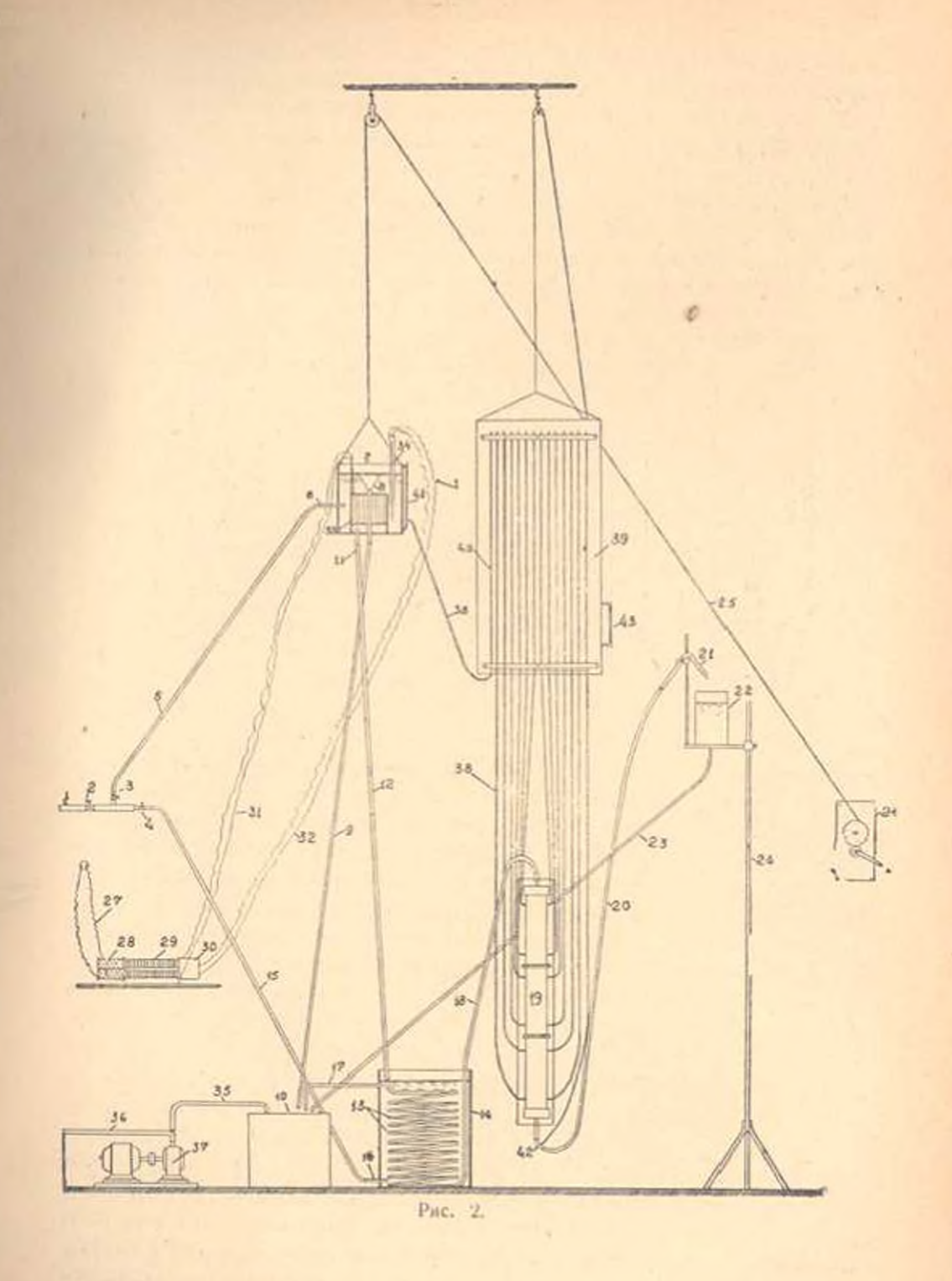
где g — количество растворенного в воде газа в $\kappa z/. m^3$; α — коэффициент абсорбции газа водой в $\kappa z/. m^3$;

P = парциальное давление газа над поверхностью воды в $\kappa z/M^3$; $P_0 = 10.333 \ \kappa z/M^2$ (нормальное атмосферное давление).

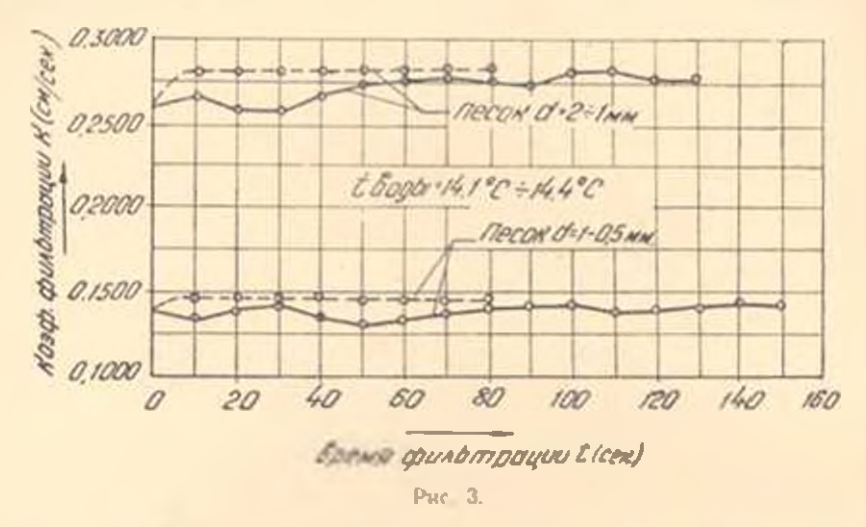
Эта закономерность и была намя принята в основу рассматринаемой методики дезаэрации грунгозых пор.

Фильтрационная установка (рис. 2), состоящая из 3-х частей (собственно фильтрационный прибор; дегазационная установка; автоматическое устройство для отвода профильтрованной воды) работала следующим образом. В бак верхнего бьефа (7) ноступала водопроводная вода $(t=10-14^{\circ}\text{C})$, которая нагревалась с помощью нагревателя (33) ло 40°С, причем постоянство температуры нагрева регулировалось электроконтактным термометром (34). Так как вода в баке непрерывно переменивалась, то в шланг (12) поступала вода с постоянной температурой нагрева 40°C. Далее, по пути следования к фильтрационному прибору (19, вода пропускалась через холодильник, представлиющий из себя бак (14), емкостью 30 литров со змесвиком из шлангов (13), длиной 20 метров, где вода двигалась по направлению сверху-винз. Одновременно по шлангу (15) в бак, через ее нижнюю часть. непрерывно поступала холодная водопроводная вода, двигающаяся в баке снизу-вверх, которая после интенсивного перемешивания, с помощью особого устройства, отводилась через верхнюю ее часть, через трубку (17) в сборный бак (10). Нагретая до 40°С водопроводная вода после прохождения через колодильник охлаждалась до t=1316°C и через шланг (18) поступала в фильтрационный прибор. Так как температура воздуха в лаборатории, где проводились эксперименты, была всегда выше 13 16°С, то шланги (18) и (20) были в свою очередь заключены в другие шланги большего диаметра, по которым так же непрерывно циркулировала холодная водопроводная вода. С этой же целью омывалась током холодной воды и фильтрационная трубка (19). Таким образом удавалось температуру фильтрующей через прибор воды поддерживать практически постоянной (колебания температуры фильтрата в течении дня не превышали 0,2-0,5°С).

Сущность изложенной выше методики дезаэрации грунтовых пор заключается в следующем. Предварительно нагретую до 40°С гезонасыщенную водопроводную воду пропускают через холодильник, где ее температура понижается до 13—16°С. Понижение температуры фильтрата на 24—27°С с одной стороны и паличие определенного давления в фильтрационном приборе (0,2 атм.) с другой стороны резко увеличивает растворимость газов в воде (в нашем случае углекислоты на 80°/о и кислорода на 53,3°/о), вследствии чего в фильтрационный прибор поступает уже вода с определенным дефицитом газа в ней. Поэтому в процессе фильтрации не только ве должно происхолить газовыделение на воды, но, что особенно важно, в фильтрующей воде должен раствориться воздух, защемленный по какой либо причине в грунтовых порах, и вместе с водой выноситься наружу. Преимуществом такой методики, против обычно принятых на практике мето-



дов дегазации воды является то, что уже после нескольких часон непрерывной фильтрации последням принимает стационарный характер иля всего периода исследования. Известно, что с этой же целью различные авторы $\{1\}, \{3\}, \{4\}$ и другие и своих опытах по фильтрации через пески пропускали воду непрерывно, в течение нескольких дней и недель, и дяже после этого им не всегда удавалось получить вполне устойчилую во премени фильтрацию, хотя и напор на установке оставался постоянным. На рис. З приводятся некоторые из полученных нами зависимостей K = K (t), характеризующие фильтрацию через один и



тот же грунт при различных методах дегазации фильтрата. В одном случае, когда в качестве фильтрата применялась вакуумированная кодопроводная вола (ни рис. 3 сплошная линия) фильтрация через крупнозеринстый песок с диаметром зерен d=2-1 им носит явно переменный характер в первые 56 часов, несмотря на постоянство температуры воды и общего напора на установке. В дальнейшем колебание значений коэффициента фильтрации выражено слабо, но все же фильтрационный пропесс не носит стационарного характера

Неустановившийся характер процесса фильтрации усматривается также и из зависимости K-K (t), полученной для случая среднезернистого песка с дивистром зерен d=1-0.5 мм (рис. 3), гле изменение значений коэффициента фильтрации наиболее резко выражено в первые 80 часов. Однако и далее фильтрация все еще носит пульсирующий характер. Указанные грунты были исследованы на фильтрацию и более длительное время, в продолжении 10-15 суток, однако в тогда наблюдались колебания коэффициента фильтрации. Аналогичные результаты для данных грунтов были получены в в другой серии опытов, когда была применена не дегазированияя вода, а так же в случае, когда придерживались рекомендуемых литературой метолов дегазации воды. В случае, когда вышеуказанные грунты были исследованы на фильтрацию при тех же условиях, но с применением предлагаемой

метолики дегазации фильтрата, нами были получены данные, реэко отличные от рассмотренных выше (пунктирная линия на рис. 3). Здесь изменение значении коэффициента фильтрации наблюдается в первые 3-4 часа (для крупнозернистого песка) и 5-6 часов (для среднезернистого песка), после начала опыта. Далее, независимо от времени определения, значения коэффициента фильтрации остаются постояними, что указывает на установившийся режим фильтрации. По данной методике нами были исследованы на фильтрацию и другие песчаные грунты (d=0.5-0.25 мм, d=0.25-0.10 мм, смещанный с фракциями от 0.05 мм до 2 мм, слоистый грунт, составленный из грех различных однородных по высоте слоев и др., и во всех случаях были получены данные, указывающие на сравнительно быстрое установление режима фильтрации.

Изложенная методика была применена для уточнения ряда вопросов, связаных с лабораторным исследованием фильтрационных свойств песчаных грунтов. Многочисленные опыты (более 350), проведенные в гидротехнической лаборатории Ереванского политехнического института привели нас к следующим выводам:

- 1. Результаты дабораторного изучения фильтрационных свойств грунтов зависят, в основном, от степени илияния на процесс фильтрации различных побочных факторов, искажающих фильтрацию, в особенности газонасыщенности грунта и воды. Рекомендуемые в литературе методы устранения влияния последних на процесс фильтрации не ивляются полноценными.
- 2. Предлагаемая и работе методика дозаэрации грунтовых порпесков, в отличие от существующей, обеспечивает условия фильтрации, при которых газовыделение из воды становится невозможным, а защемленный в груптовых порах воздух сравнительно быстро растворяется и с фильтруемой водой выносится наружу.
- 3. Преимуществом такой методики следует считать и то, что она может быть применена для определения коэффициента фильтрации несков с нарушенной и ненарушенной структурой.
- 4. В качестве фильтрата можно применять газонасыщенную воду, которая, согласно предложенной методике, может быть сравнительно легко превращена н воду, поглошающую воздух и газы из грунтовой массы.
- 5. Применение данной методики позволяет в лабораторных условиях получать устойчивый, стационарный во времени режим фильтрации, независимо от степени газонасышенности грунта и фильтруемой воды. Это очень важно и том смысле, что определяемые во времени значения коэффициента фильтрации, при прочих равных условиях, будут свободны от искажения.

Ереванский политехнический институт им, К. Маркса

BAIL L. INDSHABILL

ԳԱԶԱՀԱԳԵՑՎԱԾ ԱՎԱԶՆԵՐԻ ՖԻԼՏՐԱՑԻՈՆ ՀԱՏԿՈՒԹՅՈՒՆՆԵՐԻ ԼԱԲՈՐԱՏՈՐ ՈՒՍՈՒՄՆԱՍԻՐՈՒԹՅԱՆ ԺԱՄԱՆԱԿ ԾԱԿՈՏԻՆԵՐԻ ՈԴԱԶՐԿՄԱՆ ԵՂԱՆԱԿԻ ԾԱՍԻՆ

Undfrachment

Հոդվածում նկարագրվում է ավազների դրունտային ծակոտիների օդագրրկման տոտջարկվող նոր հղտնակ, որը դոլություն ունեցող հղտնակներից տարբերվում է, տպահովելով ֆիլտրացիայի պրոցեսում այնպիսի պայմաններ, ինչպիսիներն են՝ ջրից դազանջատման լուրաքանչյուր հնարավորություն, գրունտային ծակոտիներում պարփակված օգի համեմատարար արադ հեռագում։

Նշված ժնքոդիկայի ժշանքան ժաժանակ րաղմախիվ փորձարկումներ է կատարված տարրեր ֆրակցիաների ավազների ֆիլարացիայի վերարհրյալ. ընդորում փորձերը կատարվել են համաձայն եկ. 1 ընթված սխեմալի։ Բերված են նաև փորձարկումներից ստացված որոշ արդյունքներ է է է ֆունկցիալի ձևով։

ЛИТЕРАТУРА

- 1. Андрущенко А. Г. "Сраннительное рассмотрение способоя определения коэффициентой фильтрации на приборах типон Дарси и Форхгеймера". Сборник трудов Украинского отделения института ВОЛГЕО, Харьков, 1910 г.
- Герсеванов Н. М. "Опыт развития линамния груптовой массы". Сборнак "Исследование работы групта и железнолорожных сооружениях". Трансжелдориздат. М., 1940 г.
- 3. Зауербрей И. И. "К вопросу о коэффициенте фильтрации груптов и методиме его исследований". Известия НИИ гипротехники, том V, 1931 г.
- Пузыревская Т. Н. Просачивание поды через несчаные грунты: Павестия НИИГ. т. 1, 1931 г.

Տեխնիկական գիտութ, սեբիա

XI 5 1958

Серия технических нача.

НАУЧНЫЕ ЗАМЕТКИ

М. Г. А. КОСТАНЯН, К. А. КОСТАНЯН, К. А. КОСТАНЯН, В. А. КОСТАНЯН, В. А. ЕРЗНКЯН

ОБ ОДНОМ СЛУЧАЕ ИЗНОСА ЭЛЕКТРОДА В СТЕКЛОВАРЕННОЙ ЭЛЕКТРИЧЕСКОЙ ПЕЧИ

Одним из пажнейних показателей работы стекловаренных глектрических печен является работа электродов, которая определяет дантельность работы печи, качетво стекла и к.п.д. печи. На стекольных заводах Армении уже давно с успехом применяются стальные электроды для варки различных вняов стекла [1]. Опыты, проведенные в Хямическом институте АН Армянской ССР, показали, что электроды мостали марки ЭН 459 могут применяться печах для парки электроколбочного стекла.

При пормальных условиях работы печиэти электролы могут работать без искусственного охлаждения, что приводит к значительному повышения к. п. д. печи без увеличения степени разъедания электродов распланленной стекломассой [2]. Аля обеспечения порчальной работы электродок необходимо строгое соблюдение определенного теплоного режима электрода. С. стои точки зрения следует итметить работу электродон электронечи Ереванското электроламнового заноза.

Печь производительностью 5 гони в сутки была пыложена из шамотимх брусьев, с протоком и семью парами электролов из стали ЭИ—439.

Форма электролов, размеры и расположение приведены на рис. 1.

В течение 4 чесячной работы нечи, и особенност перного месяца ее работы, электролы подверт энсь усиленному охлаждению подой, Рис. 1. Схема стальных электротов, их разъедания с паружной стороны и расположения и стене наниы печи.

500

нвилу нелостатка поздуха, до температуры паружной части ил 700—800 г.

Особенно сильному охлаждению подой подвергались электроды левой сторочны (по производственному потоку) печи. В результате сильных патяжений, позникших и электродах, на голонных частях многих электродов образовались грещины

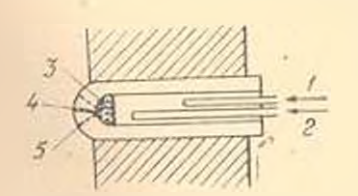


Рис. Схема разъедания стальных электролов при их однопременном охлаждении полаухом и нолой: 1) вола; 2) волаух: 3) застыпшая стеклюмасса. 1) пачальная грешина; 5) граница разъедания электрола после кампания печи.

трис. 2), которые способствовали еще более сильному разъеданию электродой со стировы расплавленной стекломассы. Уже к первому ме сяну работы печи вытекание расплава из тришии электродой печи вытекание расплава из тришии электродой приварить желеные дащитные пластинки, которые, хота и предотвращали пытекание расплава, однако сильно ухудшили тепловой и электродом и примеды к сильному растворению торцевой части пректродой. Проникшее через трещину расплавленное стекло заполняло промежуток между примаренной пластинкой и головкой электрода, создавая плохо проводящий теплослой

Вследствие этого обмываемая распланленным стеклом головка электрода полвергалась сильному перегреву, что привело к ее разъеданию и оплавлению. После остановки печи и выпуска стекломассы под электродами, на полу печи, была обнаружена распланленная масса материала электрода.

Кроме того, и результате дейстиня подяных нарон и высокой температуры, годонка электрода подверглась наносу также и с охлаждаемой стороны, достигающему
15 – 20 мм (на риг. 1, это разъедание показано пунктиром). При этом на электродах
образоналась окисная иленка, которая периодически очищалась. Окисная иленка
(толщина которой иногла достигала до 1 мм) вызывала перегрев голошкой части
наектродон вследствие ухудшения теплопроводности. Очень часто замечалась трешина на образонаниейся пленке, которая отличалась более ирким спечением.

Следует отметить, что пара электролов, находящаяся в нырабогочной части чечи охлаждалась только поздухом, не была развечена с охлаждаемой стороны в тохранила свои перионачальные размеры. Электроды из того же материала, установаемиме в опытной электролечи Химического института, которые в течение 7 месящею работали с воздушным охлаждением, при температуре наружной поверхности электродов 850—920°С я около 1,5 месящей без охлаждения (температура наружной поверхности 1030—1130°С), также не подвергансь разведанию с наружной стороны и сохранили свои перионачальные размеры.

Следует отметить, что охлаждение электродов подой, примененное М. А. Бабаджании. В. С. Минасяном и В. А. Ильниским и полупромышлению печи, также привело к быстрому разъеданию электродов [3].

Опыт электронарки стекла показывает, что наилучины способом охлаждения электродов пристенного типа ввляется поздушное охлаждение, при этом нажное значение имеет режим работы электролов

Химический пиститут АН Армянской ССР

Поступнао 15 111 1956

JUTEPATYPA

- 1. Сборник научных работ по стеклу, Москва, Промстройналат, 1960.
- 2 Манкелян М. Г., Мелик-Арнатаров 4, Ф. и др. "Известия АН Армянской ССР», VIII, стр. 65, 1955.
- Вабадже М. л., Миничи В. С. Ильичекий В. 1. Стекло п. керамика. № 3-1956.

HRUPAZ LUC

СТРУННЫЙ ДИНАМОМЕТР ДЛЯ ИЗМЕРЕНИЯ КРУТЯШЕГО МОМЕНТА

При ппытах, связанных с решением ряда технических задач, гребуется измерение крутящего момента. Известны индукционный, фотоулектрический, теизометрический и другие методы измерения крутящего момента. Применение этих методов частю бывает затруднительно, особение при больших екоростях пращения. В частности, такие обстоятельства, как изменение переходного сопрозивления при щеточных контактах, или конструктивные затруднения, снязанные с применением ртутных контактов, принодят к усложнению приборов. В предлагаемом ниже методе крутяций момент преобразуется и колебания заектрического тока, с номощью трансформаторы с працающейся перинчном обмотков.

На рис 1 приведена электрическая схема динамометра автора. На валу, при номовни хомутов, закрепляются два кроинтейна, между которыма поперек нала натя гивается тонкая стальная струна. При деформации нала, под влиянием крухищего момента кроиштейны вместе с хомутами перемещаются, натягивая или ослабляя струну.

Вследствие этого обмываемая распланленным стеклом головка электрода полвергалась сильному перегреву, что привело к ее разъеданию и оплавлению. После остановки печи и выпуска стекломассы под электродами, на полу печи, была обнаружена распланленная масса материала электрода.

Кроме того, и результате дейстиня подяных нарон и высокой температуры, годонка электрода подверглась наносу также и с охлаждаемой стороны, достигающему
15 – 20 мм (на риг. 1, это разъедание показано пунктиром). При этом на электродах
образоналась окисная иленка, которая периодически очищалась. Окисная иленка
(толщина которой иногла достигала до 1 мм) вызывала перегрев голошкой части
наектродон вследствие ухудшения теплопроводности. Очень часто замечалась трешина на образонаниейся пленке, которая отличалась более ирким спечением.

Следует отметить, что пара электролов, находящаяся в нырабогочной части чечи охлаждалась только поздухом, не была развечена с охлаждаемой стороны в тохранила свои перионачальные размеры. Электроды из того же материала, установаемиме в опытной электролечи Химического института, которые в течение 7 месящею работали с воздушным охлаждением, при температуре наружной поверхности электродов 850—920°С я около 1,5 месящей без охлаждения (температура наружной поверхности 1030—1130°С), также не подвергансь разведанию с наружной стороны и сохранили свои перионачальные размеры.

Следует отметить, что охлаждение электродов подой, примененное М. А. Бабаджании. В. С. Минасяном и В. А. Ильниским и полупромышлению печи, также привело к быстрому разъеданию электродов [3].

Опыт электронарки стекла показывает, что наилучины способом охлаждения электродов пристенного типа ввляется поздушное охлаждение, при этом нажное значение имеет режим работы электролов

Химический пиститут АН Армянской ССР

Поступнао 15 111 1956

JUTEPATYPA

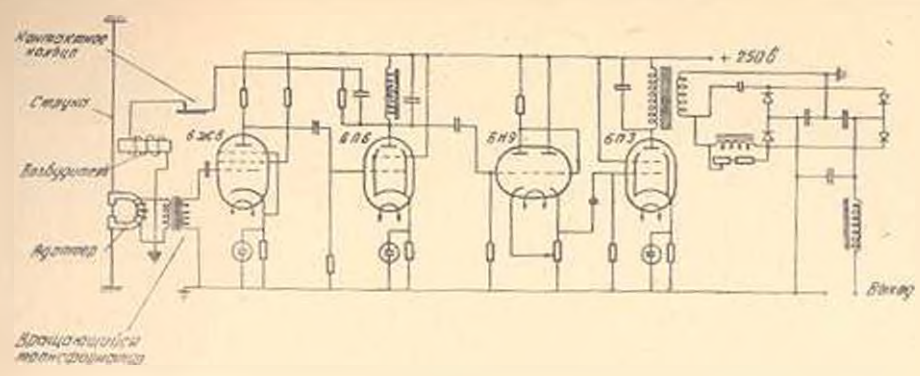
- 1. Сборник научных работ по стеклу, Москва, Промстройналат, 1960.
- 2 Манкелян М. Г., Мелик-Арнатаров 4, Ф. и др. "Известия АН Армянской ССР», VIII, стр. 65, 1955.
- Вабадже М. л., Миничи В. С. Ильичекий В. 1. Стекло п. керамика. № 3-1956.

HRUPAZ LUC

СТРУННЫЙ ДИНАМОМЕТР ДЛЯ ИЗМЕРЕНИЯ КРУТЯШЕГО МОМЕНТА

При ппытах, связанных с решением ряда технических задач, гребуется измерение крутящего момента. Известны индукционный, фотоулектрический, теизометрический и другие методы измерения крутящего момента. Применение этих методов частю бывает затруднительно, особение при больших екоростях пращения. В частности, такие обстоятельства, как изменение переходного сопрозивления при щеточных контактах, или конструктивные затруднения, снязанные с применением ртутных контактов, принодят к усложнению приборов. В предлагаемом ниже методе крутяций момент преобразуется и колебания заектрического тока, с номощью трансформаторы с працающейся перинчном обмотков.

На рис 1 приведена электрическая схема динамометра автора. На валу, при номовни хомутов, закрепляются два кроинтейна, между которыма поперек нала натя гивается тонкая стальная струна. При деформации нала, под влиянием крухищего момента кроиштейны вместе с хомутами перемещаются, натягивая или ослабляя струну.



Pac. 1

о зависимости о меняется пастота собственных колебании струны. Вследствие этого индуктируется ток той же частоты в электроматиятиом приемнике здантер-перет который прохолит струна. Концы проводой от катушки адантера подводятся в еринчной обмотке трансформаторного токостьем. Перинчизи обмотка последнего закреплиется на выду и вращается иместе с ини Вторичнам обмотка наматывается ана догичным образом и пенодинжном сердечинке. Обе обмотки имеют свои сердечинки и отледень друг от друга кольневым воздушным лазором. Такой способ токосьема остраняет необходимогть и конгактиом токосъеме, с которым сиязаны номехи.

Вторичизя, неполинжная обмогка вращающегося трансформатора пояключается - поуздамновому инзкочастотному усилителю (дамии 68(8) и 6116. От выхода пторон лампы 6116 усиденное напряжение через контактное кольно подается на катушку збратной связи али поддержания колсбаний струны. Наличие переходного контактного сопротивления и цени обратной связи не илияет на пормальную работу струны на-за пысокого сопротивления катушки возбуждения. Часть напражения подается на возяратно-спускопую схему (ограничитель амплитуды 6119). Сигнал — дампы 6119 полается на усилитель мощности 6113 и с выходного трансформатора этой лампы—на дему преобразования частоты. Выход схемы осуществлен через устройство, дающее тог пропорциональный изменению частоты, а следовательно, и изменению момента.

Поизможетр был испытан на валу гипроагрегата динамоческой молели энергосистемы Водно анергетического института АН Армянской ССР ВЭШ1 при скоростя
прицения до 1500 облини диаметре вала 40 мм и максимальном моменте 7 кгм. Схе
ма приборя обеспечивает его стабильную работу и тает позможность регистриронать
тришия момент на осциалографе — обычными шлейфами. Характеристика прибора
инцення: гочность прибора не менее 3% При желании чувствительность прибора
тожно и менять соответствующим подбором диаметра и далны струпы. Описан
ный иннамометр с 1957 г. удовлетворительно работает и даборатории молелиронация ВЭНИ Линамометром такого типл произведено измерение крутящего моментя на гидроагрегате Дзора! ЭС при скорости прашения 500 облини и крутящем
моменте 16000 мгм. Как показали пенытания, предлаглемый аниамометр можно усзанию применять не только при забораторных исследованиях, но и при опытах и
натуре

Водио-энергетический янститут АН Армянской ССР

Hactyman 20 V 1958

С. А. ПИРУЗЯН

ФИКСАЦИЯ ЗЕМЛЕТРЯСЕНИЯ 14-го ФЕВРАЛЯ 1957 г. В гор. ЕРЕВАНЕ МНОГОМАЯТНИКОВЫМИ СЕЙСМОМЕТРАМИ ЛИС—2

В 1956 году, с целью подучения инструментальных данных для сейсмических районирования и микрорайонирования, в г. Ереване, а также на сейсмических станциях "Ереван". "Горис", "Ленинакан" и "Степанаван" были установлены многомаят никовые сейсмометры АНС—2 [1].

В т. Ереване приборы были установлены в ияти пунктах, и том числе и на сейсмической станции. Для установки сейсмометров выбирались участки с характерными инженерно-геологическими условиями с целью количественного определения влияния этих условий на интенсивность сейсмических колебаний [2, 3]. В феврале 1957 года три сейсмометры, установленные на территорни города Еревана, в различных трунтовых условиях рарегистриновали местное землетрясение, сила которого по макросейсмических признакам была оценена в IV балла.

Грунтово-геоморфодогические особенности участков расположения упомянутых приборов икратце характеризуются следующими данными:

Сейсмометр № 6 (завод "Канал") расположен в северной нагорной части то рода, в пределах Арабкирского плато, сложенного базальтами и зидезиго-базальтами верхиетретичного возраста. Прибор установлен на глыбовых трениноватых базальтах местами оцизакованных.

Сейсмометр № 11 (сенсмостанция "Ереван") расположен и северной части городской котловины, на месте расширения селевого конуса выноса реки Гедар, на оправобережной террасе. Терраса сложена продинием—валучно-галечными отложениями, представляющими скопления плодо-окатанного крупнообломочного материала примесью глины, супеси, песка и гальки.

Сейсмометр № 9 (школа № 38) расположен в южной равнинной части торода. Участок сложен в основном суглинисто-супесчанными и галечно-гравелистыми отложениями. Размеры и количество обломочного материала упедичиваются с глубиной.

Таким образом имсем три разновидности грунтов: скалистый грунт (сейсмочетр № 6), рыхлый грунт конуса выноса (сейсмометр № 11) и сопременные осадочные отложения средней илозности (сейсмометр № 9), Согласно данным сейсмической станции "Ереван" вемлетрясение произовлю 14-го феврале 1957 г. в 21 час 50 мни 47 сек, по Грининчу, эпицентр находился в 12-14 к.и. к. северо-ностоку от города". Сила данного вемлетрясения в IV балда близка к нижнему пределу чувствительности сейсмометров АИС—2 и поэтому в настоящей заметке цестоя лишь приближенная интерпретация полученных результатов. В табл. 1 приведены данные, полученные при обработке показаний сейсмометров. Величины максимальных принеденных сейсмических ускорении в колеблются в пределах от 0.26 см/сек², для длинопериодных маятников сейсмометров (T=1.2 сек), по 83 см/сек², для короткопериодных маятников T=0.05 сек).

Спектры : (Т) имеют, к общем, гиперболический характер³³; исличные при педенных ускорений возрастают с уменьшением пернодов свободных колебаний млятников. Для пернодов свободных колебаний в диапазоне от 0,2 до 0,3 сек наблюдает ся увеличение горизонтальных компонентов ускорений в рыхлом групте (сейсмометры №№ 9, 11) в сравнении со скалой (сейсмометр № 6). Упомянутый диапазон перноцов наиболее соотпетствует периодам свободных колебаний большинства современ ных зданий городского типа, пысотою 2—3 этажа. Маятники с периодом Т = 0.4 сек

^{*} Эти даниме были любезно представлены нам заведующим сейсмической станцией Д. М. Мизизканяном.

^{**} Подробное описание получениых спектров и чест установки сенсиометроприведены в отчетах сектора инженерной сейсмологии института за 1956 - 1957 гг

показали (табл. 1) ранные т на базальте и суглинисто-супесчанных и галечно-гравелистых отложениях и в два раза меньше т на продювиальных отложениях реки Гедар (сейсмометр № 111. При рассмотрении самого жесткого маятника с периодом собственных колебаний T = 0.05 сек, наблюдается иная картина. Самое бельшое при-

Таблица 1

	Сеяс	мометр	Nr 6	Сей	смометр 3	a 9	Сейсмометр № 11			
Marthur	No leacent	Периоз Т сек	S'CKOPEHIN 3 CM/COM	M xaccer	II puna	K W	2 2	Периоз	V Kope	
NOT TO HE	6-1 6-2 6-3 6-4 6-5 6-6	0,040 0,39 1,16 0,20 0,76 0,092	4.8 0.3 1.9 0.19	9-1 9-2 9-3 9-4 9-5 9-6	0,017 0,40 0,17 0,20 0,80 0,095	21,8 4,8 0,26 13,1 1,02	11-1 11-2 11-3 11-4 11-5 11-6	0.05 0.417 1.18 0.191 0.78 0.10	82,8 2,15 10,0 0,76 26,2	
ерти каль- кые	6-7 6-8 6-9	0.097 0.21 0.031	25.8 19.5 34.8	9 - 7 9 - 8 9 - 9	0,09A 0,20 0,053	3,06	11-7 11-8 11-9	0,099 0,20 0,48	22,2 10,5 57,2	

педенное ускорение зафиксиривал сейсмометр N 11, навое меньше сейсмометр N и примерно в четыре раза меньше сейсмометр N 9. Вертикальные компоненты γ для периодон T =0.1 сля в T 0.2 сех большими по сравнению с горизоптальными компонентами при зех же периодах сно-больших колебаний

Изложенное показывает позножность применения многомактинковых соисмометров АИС—2 для регистраций земаетрясений средней сиды, что открывает реальную перспективу использовации этих приборов для нелей сейсимческого районирования крупного масштаба.

Институт стройматериалов и сооружений Министерства строительства Армянской ССР

Поступняю I VII 1958

ЛИТЕРАТУРА

- 1. Назаров А. Г. Метод инженерного анализа сейсмических сил. Изд. АН Армянский ССР, Ереван, 1986.
- Глелишвили II. А и Сафария А. И. Ваняние микрогеологии на сейсностойкость сооружений по данным англабадского земаетрясения 5—6 октября 1918 года. Труды Института строительного дела АН Грудинской ССР, Гонанси, 1949.
- 3. Парузян С. А. К нопросу ваниння микрогеологии по водичниу силы сотрясения по данным гегочкорского помастрясения 1967 года. Известия All Арминской ССР, серия технических маук, том N. M. 6. Ереван, 1967
- 4. Xanious M. F. DAH AH Aphanexoù CCP, ron XXI, No 5, Epenan. 1955.
- 5, Нечаев В. А. Сейсмометр простого устройства. Изместия Отделения естественных наук АН Таджикской ССР, № 20 Ставинабад. 1957

P. A. HYCYPAH

электропроводность жидкого карбида кальция

Современное состояние попрослемб электропроводности жизкого карбита кальпос освещено в [1-5].

Наим для экспериментов был использован метод Кольрауша. В инну задачу изодного определение электропроволности поилты карбида кальция начиная с компатном температуры до температуры позизоповения завинческой реакции карбидообразования Исследовация нектропровозовсти расплана карбида кальции, записищей от оптража и температуры, провознансь на Ереванском карбидном заподе. Ниже даст- и опнедине этой части работы

Иля илмерения удельной (деятропрополност) милього варбила кальция было изготоплено специяльное приспособление следующей конструкции.

На конце питометровой штанги были ыкреплены дов графитовых электрольизвиом 550 жм инфоном 60 мм и голшином 30 мм. Эти электролы были илглуховыреплены на расстоянии 60 мм труг от аруга и могли вращатье и относительнымичилини по исех направлением тту стобы при явлоом поломеции, штанги они имельнолько одно илиравление напрышление тействив сиды тижести.

Измерения температуры производизясь термопаров графит польфрам. В каче тве графит элемента термопары намы был исполь вын один из электродов, служащий однопременно и тлу засетинческих измерении. Тля этого электрод изготивляем полым, В полым мектроз помещался польфрам, который одним конном был икреплем с графитоным электродом. Остальная же часть была полицована от него термостойким и электроноголирующим материалом (цирконий).

Нее отгодищие от электролов пропода для геллошовациии были обиотаны не колькими слоими асбестовом денты. В качестые измерительного прибора температурьбым использовае миздинользметр магингоздектрической системы. Этот прибор был огранее проградуировам с термопарой графит-польфрам и идентичных проведенным оцитам условиях. При и мерении удельного сопротипления распальы карбила клаьния сопротипления здектролог ис пизмалясь ий графит имеет большум здектропроводность (тем более что это тепловой коэффициент электропроводности польжительный).

Опыты приводились в карбилиой нечи и следующей последовательности. Во первых заранее определялась конструктивная послоянная электролного устройства путем апробирования этого устроиства в соответствующей посуде с электролнтом, имеющим величину удельного сопротивления примерно того-же порядка, что и жилии карбил — 0.1 - 0.5 ом см

После этого штангу с электро сми перебрасывали о нех гле производился лип карби и и укрепачал там в явде короммеловых весов Во время слина печи померительные электро по опускались в жизкий карбия, пахолящийся в изложнине Электроды погружались в жизкий карбия на 60 или 160 мм. Ознопременно с опретелением электропроводности — каждого эксперимента тут же, с заполекой лабо ратории, определялся янграм измеряемого карбиза.

После опытов в заектролаборатории провершать и корректировалаль конструкниван постоянная измерительного прибора. Следует отметить, что при работе полник рид грудногтей от втанием предвиданию высокой температурой окружающего веды. Это потребовали некоторым изменения в методике измерения сопротивления. Тенорыальная температура не зая позможности использования мостиковой схемы и осналографом в начестие нуженого прибора так как весь опыт нужно были продевать очень быстро изма эторания процесто. «сбестокой измящем шамотоков проказаки, а также илья быстрого остывания милиото карбила и т. в. Почтому в

^{*} Экспериментальные работы прокозячись из столе совместно с начальником засктролаборатории топ. М. Метрабуном

большинстве сатчаей принаюсь допольствоваться аншь показаниями польтиетря и амперметра.

Как показван пація опыта, дельное здектрическое сопротивление жидкого карбила кальция и здінсимости от температуры при литраже 250—300 мг. и плис-имется примерно в 6—7 раз.

В табание 1 привежены результаты опытив.

Записимости удельного сопротивления жилкого технического карбиза кальции от температуры и дигража

			7 27		
Гемпера туря	Antqua West	Уделын сопротия в ом сы	Гемпера- тура	Литраж ка/л	Уделыс сопротив п оде сл
1700 1700 1700 1700 1750 1750 1750 1750	270 270 270 270 250 250 250 250 250 273	0,360 0,472 0,470 0,470 0,256 0,240 0,220 0,228 0,223 0,290	1750 1780 1780 1800 1800 1800 1800 1800 180	275 275 276 280 280 280 280 280 300 300	0,216 0,157 0,137 0,130 0,130 0,113 0,111 0,114 0,075 0,078

И таба. 1 отобенно нагазано имделяется мачение удельного впектрического опротивления жидкого технического карбила клания с антражом 300 при температуре 1900 С. Оно имеет двячение дорядка 0,075—0,078 ом см. Это ливчение близко полходих в начению, полученному Хлиемопом Заслуживает также пинмания дельное мектрическое сопротивление жидкого карбила при температуре 1700 С литражом 270 кг. л. Оно колеблется в интервале — 0,36 — 0,47 ом. м. М. таблины следует также, что изменение литража карбила клания при высоких температурых окальнает личинствии меньшее влиние на его удельное сопротивление, чем изменение температуры. Ниже даштея кривые удельное сопротивления жилкого карбила кальшия от температуры (рис. 1 и удельное сопротивление жилкого карбила, отнеченное к литражу, от температуры (рис. 2).

Панбольшее приближение 10°/о) дает липроксимации принеденных краных степенной функции виза — « тас и в интервале 1700—1900 с имеют пидмение»

$$z = 0.69 - 0.75$$

 $z = 0.4 + 0.45$

Тая практических расчетов более удобна формула-

где з и з имеют текже значешия

// - температура жидкого карбида кальшия

Удельное заект, ическое сопрозиваемие и ом ти

Основные результаты нашен работы сволятся и следующему

Памерено удельное электрическое сопротивление жилкого технического карок за хальции. Они колеблется, и минисимости от температуры (и пределал 1700—1900 С.) и литилже (и пределах 250—300 кг.л.), примерно в 6—7 рад

Улежьное электрическое сопротниление жилкого технического кирбила нальции при температуре 1900°C с литражом 300 км, имеет плачение у 0.075 км г.и

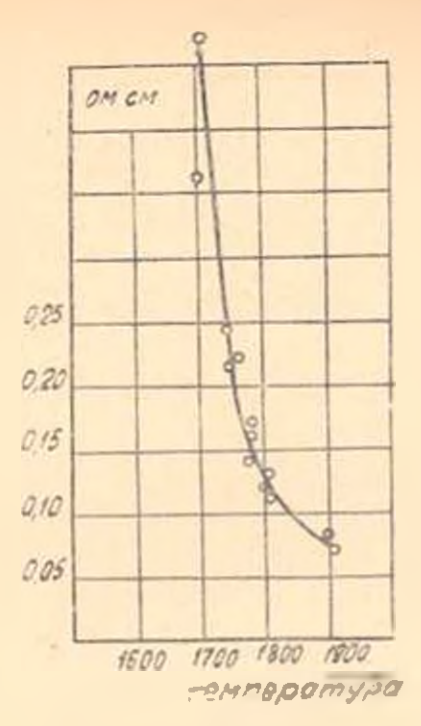


Рис. 1 Зависимость удельного электрического сопрозинавший жилкого нарбила нальший от температуры.

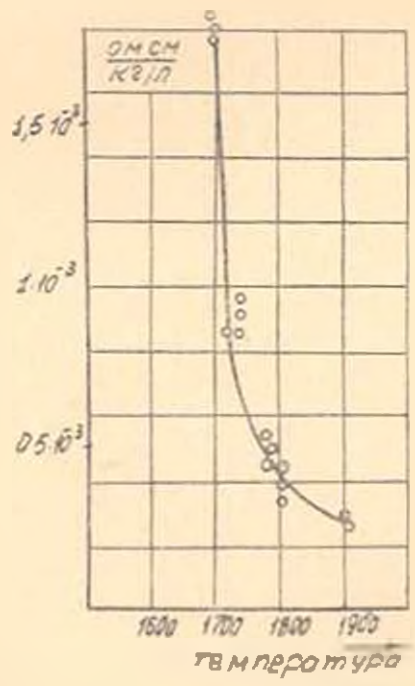


Рис. 2. Заинсимость удельного электрического сопрозниления жилкого карбила кальции, отнесениям и литраму

Удельное электрическое сопротивление в записимости от температуры меняезся по закону

 $p = ae^{-n\beta t}, \qquad (")$

те коэффициенты з и в п интервале 1700—1900 °С меняются в пределял 1=0.69 0.79: = 0.4 — 0.45.

Лаборатория электротехники АН Арминской ССР

Поступнае 10 VI 1958

JHTEPATYPA

- 1. Chanekop. Z. Anorg. Ch., 592, 1899.
- 2 Fridrich w Stitling, 7. Anorg Ch. 141, 169 1925.
- 3. Sehlumber ger. Z. Angew. Ch. 33, 213 1926.
- 5. Гельд П. В. н Кологреева А. Г. Ж.IX. т. XXI, № 6, 600. 1948.
- . Гельд А. В., Есин О. А. и Марон Ф. С. ЖПХ, XXI, № 3, 251, 1948.

видиъчичите эпъъ

	17.5
Հիդ բավ լի կա	
վ. եւ ժամագործյան Ալիրի շարժումը կողային ջրթափի հրկարությամբ	2
Կիրառական մեսսեւբոլոգիտ	
Ա. Մ. Միսիրության. Սետևա լճի հվագագույն խորության գնահատման հարցի ժասին՝ դոլորջիացման տեսակետից	iż
Հիգրոեներգետիկա	
Ա Գ Ուարզայան, Ա Ա Միդիրարդյան. Դերիվացիոն հիդրոկայանի օրվա կանսնավոր- ժան արտարողության և պիկային հղորության հաշվժան հարցի ժառին	2.5
11. Պ. Շչերբակովա, Կասկադում աշխատող չկանոնավորվող դերիվացիոն հիղբուկեկ արակայանների հաշվային հղորության որոշումը	313
Շինարարական ահիսնիկա	
և Ս. Վարզանյան, քարի կարժան բնվացրում չփժան և ժաչվածության հատարո- տությունների ժեթոդիկայի հարցիրի շուրջը	d.a
Շինանյութեր	
Б. 4. Հարությունյան. Ծակոտկեն բարանյու βերում մեկուսացված օգի ճնդման п иումնասիրությունը և այդ հնչման ժեծությունը որոշելու նոր մեխոդը	\$1
Գ-րունա ագի տություն	
8ու Լ. Ավհաիրյան, Դազամագեցված ավագների ֆիլորացիոն մատկությունների լարոթատոր ուսուժնասիրության ժամանակ ծակոտիների օղագրկման հղանակի մառին	61
Դ-իտական նորհր	
Մ. Դ. Մանվելյան, Ա. Ֆ. Մելիթ-Հախմագարյան, Կ. Ա. Կոստանյան, Ս. Հ. Նալչաջ- յան և Հ. Հ. Երգնկյան <i>։ Ապակա էլիկտրահալման վառարանում ելիկտրոդի</i>	0.0
մաջվելու մի գեպրի մասին	10
Մ. Գ. հայիլան. Պատող մոժենաը չափող լաբային դինամոժետր	10
yacale AMC-2 pandansansansansansansansansansansansansansa	72
Ռ. Ա. Ճուղության Հեցուկ կայցիում կարրիդի էլեկտրանադորդականությունը .	24

ЗИНАЖЧЭДОО

	Orp.
Гидравлика	
В. Н. Жамагорцян. Пвижение полны вдоль бокового водослива	3
Прикладная метеорология	
м. М. Мхитарян. К оценке минимальной глубины очера Севан с точки зрения испарения	17
Гидроэнсргетика	
С. Г. Саркисян, С. Л. Мхитархн. К раслету пиконой мощности и емкости бассенна суточного регулирования дерипационных ГЭС	23 33
Строительная техника	
К. С. Вардании. К методике исследования трения и изнашивания при резашин камия	45
Строительные матерналы	
Ф. Г. Арутюнии. Исследование давления зашемленного воздуха в пористых каменных материалах и новый четод его определения	51
Груптоведение	
К). Л. Аветичян. О четодике дезаэрирования пор газонасыщенных пескоп при дабораторном изучении их фильтрационных спойств	61
Научные заметки	
 М. Г. Манвелян. А. Ф. Мелик-Ахназарив. К. А. Костанян, С. О. Налчао жин. Е. А. Ерликин. Об одном случае импоса электрода в стехлопаренной члектрической печи. М. Г. Хачаян. Струнный динамометр для измерения крутищего момента. С. А. Пирулин. Фиксация землетрясения 14-го февраля 1957 г. и гор. Ереване 	69 70
иногомаятинковыми сейсмометрами АИС-2	72 74



Сдано в производство 23/VIII—1958 г. Подписано к печати 17/X—1958 г. В № 07987 Заказ 361, изд. 1596. Тираж 600, объем 6,85 п. л.